

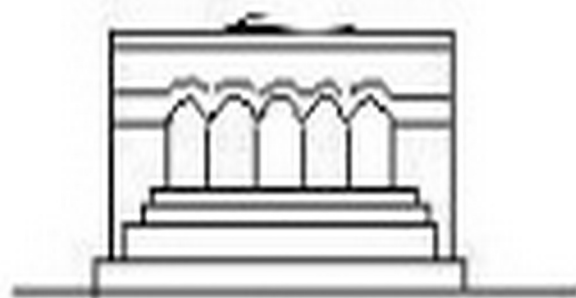
Մ Ե Ն Ա Ն Ի Կ Ա



МЕХАНИКА



MECHANICS



1981

Э. Х. ГРИГОРЯН

ОБ ОДНОЙ МОДИФИКАЦИИ МЕТОДА ПЛОСКИХ ВОЛН  
 В ПЛОСКИХ ЛИНЕЙНЫХ ЗАДАЧАХ МЕХАНИКИ  
 СПЛОШНОЙ СРЕДЫ

В работе методом плоских волн получено решение уравнений однородной среды при наличии сосредоточенных импульсов. При решении использовано известное представление  $\delta$ -функции в виде разложения на плоские волны [1, 2]. Это разложение  $\delta$ -функции было дано в работе [3], которое затем применялось к решению задачи Коши для гиперболических уравнений и к построению фундаментальных решений эллиптических уравнений. Аналогичные результаты получены также в монографии [4], где при решении соответствующих задач использовано представление непрерывной функции в виде разложения по некоторым плоским волнам.

В настоящей работе проведена элементарная модификация в представлении  $\delta$ -функции в виде разложения на плоские волны, которая позволяет в плоской задаче определить фундаментальное решение для уравнений магнитоупругости достаточно простым образом. Далее, с помощью такой модификации, методом плоских волн получается решение задачи Ламба для упругой среды.

Задачи о сосредоточенном импульсе для безграничной магнитоупругой среды другими методами исследовались в работах [5, 6].

Решение задачи Ламба для упругой среды методом интегральных преобразований содержится в [7], а методом функционально-инвариантных решений Смирнова-Соболева — в [8].

1. Требуется определить решение системы уравнений

$$\begin{aligned} c_1^2 \frac{\partial^2 u^{(1)}}{\partial x_1^2} + c_2^2 \frac{\partial^2 u^{(1)}}{\partial x_2^2} + c^2 \frac{\partial^2 u^{(2)}}{\partial x_1 \partial x_2} + \frac{1}{\rho} P \delta(x_2) \delta(t) &= \frac{\partial^2 u^{(1)}}{\partial t^2} \\ c_2^2 \frac{\partial^2 u^{(2)}}{\partial x_1^2} + c_1^2 \frac{\partial^2 u^{(2)}}{\partial x_2^2} + c^2 \frac{\partial^2 u^{(1)}}{\partial x_1 \partial x_2} + \frac{1}{\rho} Q \delta(x_1) \delta(x_2) \delta(t) &= \frac{\partial^2 u^{(2)}}{\partial t^2} \end{aligned} \quad (1.1)$$

при условии

$$u^{(1)}(x_1, x_2, t) = 0, \quad \frac{\partial u^{(1)}(x_1, x_2, t)}{\partial t} = 0, \quad u^{(2)}(x_1, x_2, t) = 0, \quad \frac{\partial u^{(2)}(x_1, x_2, t)}{\partial t} = 0$$

при  $t < 0$  (1.1')

где  $c^2 = c_1^2 - c_2^2$ ,  $c_1^2 = (\lambda + 2G)/\rho$ ,  $c_2^2 = G/\rho$ ,  $c_3^2 = c_1^2 + a^2$ ,  $c_4^2 = c_2^2 + a^2$ ,  $a^2 = \mu H^2/4\rho$ ,  $\lambda$  и  $G$  — постоянные Ляме,  $\rho$  — плотность упругой среды,

$\mu$  — магнитная проницаемость среды,  $H_0$  — интенсивность внешнего магнитного поля,  $v$  — скорость Альфвена.

Уравнения (1.1) описывают движение идеально проводящей упругой среды при наличии однородного магнитного поля  $\vec{H} (H_0, 0, 0)$ , когда в среде действуют объемные силы в виде сосредоточенных импульсов, в случае пренебрежения токами смещения [5, 6].

Для решения задачи (1.1), (1.1)' пользуемся представлением  $\delta(x_1) \delta(x_2)$  в виде разложения на плоские волны [1]

$$\delta(x_1) \delta(x_2) = -\frac{1}{4\pi^2} \int_{|\zeta|=1} \frac{d\zeta}{(\zeta_1 x_1 + \zeta_2 x_2)^2}, \quad \zeta_1^2 + \zeta_2^2 = 1, \quad |\zeta| = \sqrt{\zeta_1^2 + \zeta_2^2} \quad (1.2)$$

Имея в виду, что  $\zeta_1^2 + \zeta_2^2 = 1$ , (1.2) можно записать в виде

$$\delta(x_1) \delta(x_2) = -\frac{1}{4\pi^2} \int_{-1}^1 \left| \frac{1}{(\zeta_1 x_1 + \sqrt{1-\zeta_1^2} x_2)^2} + \frac{1}{(\zeta_1 x_1 - \sqrt{1-\zeta_1^2} x_2)^2} \right| \times \\ \times \frac{d\zeta_1}{1-\zeta_1^2} \quad (1.3)$$

Из (1.3) после продолжения  $\zeta_1$  на всю действительную ось получим

$$\delta(x_1) \delta(x_2) = -\frac{1}{2\pi^2} \operatorname{Re} \left[ \int_{-\infty}^{+\infty} \frac{1}{(\zeta_1 x_1 + \zeta_2 x_2)^2} \frac{d\zeta_1}{\sqrt{1-\zeta_1^2}} \right], \quad \zeta_2 = \sqrt{1-\zeta_1^2} \quad (1.4)$$

Очевидно, что под  $\sqrt{1-\zeta_1^2}$  понимается та ветвь этой функции, которая положительна при положительных мнимых значениях  $\zeta_1$ . Такую ветвь можно выбрать, если провести разрез на отрезке  $(-1, 1)$ . Для такой ветви  $\sqrt{1-\zeta_1^2}$  положительно мнима при  $\zeta_1 < -1$  и отрицательно мнима при  $\zeta_1 > 1$ .

Эта элементарная модификация в представлении  $\delta(x_1) \delta(x_2)$  (1.4) даст возможность в дальнейшем без каких-либо трудностей получить решение задачи (1.1), (1.1)' в виде записи через элементарные функции.

Теперь приступим к решению задачи (1.1), (1.1)'. Для этого сначала определим решение однородного уравнения (1.1) вида

$$u_i^{(1)} = A_i f(\mu t + \zeta_1 x_1 + \zeta_2 x_2), \quad u_i^{(2)} = B_i f(\mu t + \zeta_1 x_1 + \zeta_2 x_2) \quad (-\infty < \zeta_1 < +\infty)$$

Под  $\sqrt{1-\zeta_1^2}$  понимается вышеуказанная ветвь этой функции.

После подстановки этих функций в (1.1) и требования, чтобы они удовлетворяли однородным уравнениям, для определения  $A_i, B_i$  получим систему уравнений

$$(c_1^2 \zeta_1^2 + c_2^2 \zeta_2^2 - v^2) A_i + c^2 \zeta_1 \zeta_2 B_i = 0 \\ c^2 \zeta_1 \zeta_2 A_i + (c_1^2 \zeta_1^2 + c_2^2 \zeta_2^2 - v^2) B_i = 0$$

Для того, чтобы получить нетривиальное решение этой системы, должно иметь место следующее:

$$\lambda^4 - \lambda^2 (c_1^2 + c_2^2) + c_1^2 c_2^2 + a^2 c^2 \zeta_1^2 = 0$$

Решив это уравнение, получим его корни в следующем виде:

$$\lambda_j = \frac{1}{\sqrt{2}} \sqrt{c_1^2 + c_2^2 - (-1)^j \sqrt{(c_1^2 - c_2^2)^2 - 4a^2 c^2 \zeta_1^2}}$$

$$\lambda_3 = -\lambda_1, \lambda_4 = -\lambda_2 \quad (j = 1, 2)$$

Очевидно, что  $\zeta_1 = \zeta_1^* = \pm (c_1^2 - c_2^2)/2ac$  будут точками ветвления внутреннего радикала в выражениях  $\lambda_j(\zeta_1)$ , ( $j = 1, 2$ ).

Фиксируем значения внутреннего радикала так, как это сделано относительно функции  $\sqrt{1 - \zeta_1}$ . Очевидно, что в этом случае надо провести разрез, соединяющий  $\zeta_1^*$  с  $\zeta_1^{(2)}$ . В разрезанной указанным образом плоскости точка  $\zeta_1^{(1)} = -ic_2 c_1 / ac$  будет точкой ветвления для  $\lambda_1(\zeta_1)$ , а  $\zeta_1^{(2)} = \zeta_1^{(1)*}$  — точкой ветвления для  $\lambda_2(\zeta_1)$ . Теперь однозначные ветви функций  $\lambda_j(\zeta_1)$ , ( $j = 1, 2$ ) в указанной плоскости выберем так, чтобы  $\lambda_1(\zeta_1)$  для мнимых значений  $\zeta_1$  было положительным при  $\text{Im } \zeta_1 > \text{Im } \zeta_1^{(1)}$  и отрицательно мнимым при  $\text{Im } \zeta_1 < \text{Im } \zeta_1^{(1)}$ , а  $\lambda_2(\zeta_1)$  — положительным при  $\text{Im } \zeta_1 < \text{Im } \zeta_1^{(2)}$  и отрицательно мнимым при  $\text{Im } \zeta_1 > \text{Im } \zeta_1^{(2)}$ . Для этого для  $\lambda_1(\zeta_1)$  надо провести разрез, соединяющий точку  $\zeta_1^{(1)}$  с бесконечностью и находящийся в левой полуплоскости, а для  $\lambda_2(\zeta_1)$  — разрез, соединяющий точку  $\zeta_1^{(2)}$  с бесконечностью и находящийся в правой полуплоскости. Причем линия  $\text{Im } \zeta_1 = \text{Im } \zeta_1^{(2)}$  обходит точку  $\zeta_1^{(2)}$  снизу, а линия  $\text{Im } \zeta_1 = \text{Im } \zeta_1^{(1)}$  — точку  $\zeta_1^{(1)}$  сверху.

Таким образом, общее решение однородного уравнения в рассматриваемом классе функций будет иметь вид

$$u^{(3)} = A_{j,j} f(\lambda_j t + \zeta_1 x_1 + \zeta_2 x_2), \quad u^{(2)} = B_{j,j} f(\lambda_j t + \zeta_1 x_1 + \zeta_2 x_2) \quad (j = 1, 2, 3, 4)$$

Здесь и в дальнейшем под повторяющимся индексом понимается суммирование.

Имеют место следующие соотношения:

$$B_{j,j} = - \frac{c_1^2 \zeta_1^2 + c_2^2 \zeta_2^2 - \lambda_j^2}{c^2 \zeta_1^2} A_{j,j} \quad (j = 1, 2, 3, 4) \quad (1.5)$$

Теперь построим решение задачи (1.1), (1.1)'. Имея в виду (1.4), решение задачи (1.1), (1.1)' ищем в виде

$$u^{(k)} = - \frac{1}{2\pi^2} H(t) \text{Re} \left[ \int_{-\infty}^{+\infty} u^{(3)}(\zeta_1, x_2, x_2, t) \frac{d\zeta_1}{\sqrt{1 - \zeta_1}} \right] \quad (k = 1, 2)$$

Здесь  $H(t)$  — функция Хевисайда.

Подставив  $u^{(1)}$ ,  $u^{(2)}$  в систему уравнений (1.1) и потребовав, чтобы она удовлетворялась, в результате получаем следующее:

$$\delta_{j,j} A_{j,j} = 0, \quad \lambda_j A_{j,j} = \frac{P}{\rho}, \quad \delta_{j,j} B_{j,j} = 0, \quad \lambda_j B_{j,j} = \frac{Q}{\rho} \quad (j = 1, 2, 3, 4) \quad (1.6)$$

$$f(\zeta_1 x_1 + \zeta_2 x_2) = -\frac{1}{\zeta_1 x_1 + \zeta_2 x_2} + C$$

Здесь  $C$  — произвольная постоянная,  $\delta_{ij}$  — символы Кронекера.

Разрешив систему уравнений (1.6) и (1.5), для  $A_j$  и  $B_j$  получим следующие выражения:

$$A_{11} = \frac{P}{2\mu} \frac{c_1^2 \zeta_1^2 + c_2^2 \zeta_2^2 - \lambda_1^2}{\lambda_1 (\lambda_1^2 - \lambda_2^2)} + \frac{Q}{2\mu} \frac{c^2 \zeta_1 \zeta_2}{\lambda_1 (\lambda_1^2 - \lambda_2^2)}, \quad A_{12} = -A_{11}$$

$$A_{21} = -\frac{P}{2\mu} \frac{c_1^2 \zeta_1^2 + c_2^2 \zeta_2^2 - \lambda_2^2}{\lambda_2 (\lambda_1^2 - \lambda_2^2)} - \frac{Q}{2\mu} \frac{c^2 \zeta_1 \zeta_2}{\lambda_2 (\lambda_1^2 - \lambda_2^2)}, \quad A_{22} = -A_{21}$$

$$B_{11} = -\frac{Q}{2\mu} \frac{c_1^2 \zeta_1^2 + c_2^2 \zeta_2^2 - \lambda_1^2}{\lambda_1 (\lambda_1^2 - \lambda_2^2)} + \frac{P}{2\mu} \frac{c^2 \zeta_1 \zeta_2}{\lambda_1 (\lambda_1^2 - \lambda_2^2)}, \quad B_{12} = -B_{11}$$

$$B_{21} = \frac{Q}{2\mu} \frac{c_1^2 \zeta_1^2 + c_2^2 \zeta_2^2 - \lambda_2^2}{\lambda_2 (\lambda_1^2 - \lambda_2^2)} - \frac{P}{2\mu} \frac{c^2 \zeta_1 \zeta_2}{\lambda_2 (\lambda_1^2 - \lambda_2^2)}, \quad B_{22} = -B_{21}$$

Таким образом, решение задачи (1.1), (1.1)' будет иметь вид

$$u^{(1)} = \frac{H(t)}{2\pi^2} \operatorname{Re} \left| \int_{-\infty}^{\infty} A_{1j} \left( \frac{1}{\lambda_j t + \zeta_1 x_1 + \zeta_2 x_2} + \frac{1}{\lambda_j t - \zeta_1 x_1 - \zeta_2 x_2} \right) \frac{d\zeta_1}{\sqrt{1-\zeta_1^2}} \right| \quad (1.7)$$

$$u^{(2)} = \frac{H(t)}{2\pi^2} \operatorname{Re} \left| \int_{-\infty}^{\infty} B_{1j} \left( \frac{1}{\lambda_j t + \zeta_1 x_1 + \zeta_2 x_2} + \frac{1}{\lambda_j t - \zeta_1 x_1 - \zeta_2 x_2} \right) \frac{d\zeta_1}{\sqrt{1-\zeta_1^2}} \right|$$

( $j = 1, 2$ )

Нетрудно видеть, что подынтегральные функции имеют следующие точки ветвления:  $\zeta_1 = \pm 1$ ,  $\zeta_2 = \pm \sqrt{c}$ . Следовательно, эти функции, рассматриваемые как функции комплексного переменного, вне действительной оси, кроме полюсов, других особых точек не могут иметь.

С другой стороны, легко видеть, что волны  $\lambda_j t + \zeta_1 x_1 + \zeta_2 x_2 = 0$  будут уходящими от начала координат  $(0, 0)$  при  $\operatorname{Im} \zeta_j > 0$  только, если  $x_2 < 0$ , а волны  $\lambda_j t - \zeta_1 x_1 - \zeta_2 x_2 = 0$  будут уходящими от  $(0, 0)$  при  $\operatorname{Im} \zeta_j > 0$  только, если  $x_2 > 0$ . Учитывая это, после вычислений интегралов из (1.7) стандартным методом теории вычетов, имея при этом в виду, что действительная ось должна обходить особые точки подынтегрального выражения сверху, для  $x_2 < 0$  получим

$$u^{(1)} = \frac{H(t)}{\pi} \operatorname{Re} \left[ \frac{i A_{1j}(\zeta_j^{(j)})}{\lambda_j(\zeta_j^{(j)}) \zeta_j^{(j)} t + \zeta_j^{(j)} x_1 - \zeta_j^{(j)} x_2} \right] \quad (j=1, 2)$$

$$u^{(2)} = \frac{H(t)}{\pi} \operatorname{Re} \left[ \frac{i B_{1j}(\zeta_j^{(j)})}{\lambda_j(\zeta_j^{(j)}) \zeta_j^{(j)} t + \zeta_j^{(j)} x_1 - \zeta_j^{(j)} x_2} \right]$$

где  $\zeta_j^{(j)}$  определяются из уравнений

$$\lambda_j(\zeta_j^{(j)}) t + \zeta_j^{(j)} x_1 + \zeta_j^{(j)} x_2 = 0 \quad (j = 1, 2)$$

2. Рассмотрим колебания упругой полуплоскости, на границе которой приложен сосредоточенный импульс (задача Ламба)

$$\begin{aligned} a_0 \frac{\partial^2 u^{(1)}}{\partial x_1^2} + b_0 \frac{\partial^2 u^{(1)}}{\partial x_2^2} + \frac{\partial^2 u^{(2)}}{\partial x_1 \partial x_2} &= \frac{\partial^2 u^{(1)}}{\partial x_1^2} \\ b_0 \frac{\partial^2 u^{(2)}}{\partial x_1^2} + a_0 \frac{\partial^2 u^{(2)}}{\partial x_2^2} + \frac{\partial^2 u^{(1)}}{\partial x_1 \partial x_2} &= \frac{\partial^2 u^{(2)}}{\partial x_2^2} \end{aligned} \quad (2.1)$$

$$\begin{aligned} \left[ a_0 \frac{\partial u^{(2)}}{\partial x_2} + (a_0 - 2b_0) \frac{\partial u^{(1)}}{\partial x_1} \right]_{x_1=0} &= -\frac{P}{\rho c} \delta(x_1) \delta(x_2) \\ \left[ \frac{\partial u^{(1)}}{\partial x_2} + \frac{\partial u^{(2)}}{\partial x_1} \right]_{x_2=0} &= -\frac{Q}{\rho b_0} \delta(x_1) \delta(x_2) \end{aligned} \quad (2.1)'$$

$$u^{(1)} = 0, \quad \frac{\partial u^{(1)}}{\partial x_1} = 0, \quad u^{(2)} = 0, \quad \frac{\partial u^{(2)}}{\partial x_2} = 0 \quad \text{при } x_3 < 0 \quad (2.1)''$$

где  $a_0 = c_1^2/c^2$ ,  $b_0 = c_2^2/c^2$ ,  $c^2 = c_1^2 - c_2^2$ ,  $x_3 = ct$ ,  $t$  — переменная, характеризующая время.

Для решения рассматриваемой задачи, как и выше,  $\delta(x_1) \delta(x_2)$  представим в виде

$$\delta(x_1) \delta(x_2) = -\frac{1}{2\pi^2} \operatorname{Re} \left[ \int_{-\infty}^{+\infty} \frac{1}{(\zeta_1 x_1 + \sqrt{1-\zeta_1^2} x_2) \sqrt{1-\zeta_1^2}} \frac{d\zeta_1}{\zeta_1} \right] \quad (2.2)$$

причем под  $\sqrt{1-\zeta_1^2}$  понимается та ветвь этой функции, что и в первом пункте.

Решение системы уравнений (2.1) ищем в виде

$$u^{(1)} = A_\lambda f(\zeta_1 x_1 - \lambda x_2 + \sqrt{1-\zeta_1^2} x_3), \quad u^{(2)} = B_\lambda f(\zeta_1 x_1 - \lambda x_2 + \sqrt{1-\zeta_1^2} x_3) \quad (2.3)$$

Под  $\sqrt{1-\zeta_1^2}$  понимается та ветвь, что и в (2.2).

Подставляя (2.3) в (2.1), для определения  $A_\lambda$ ,  $B_\lambda$  получим систему уравнений

$$\begin{aligned} (a_0^2 \zeta_1^2 - \zeta_2^2 + \lambda^2 b_0^2) A_\lambda - \zeta_1 B_\lambda &= 0 \\ -\zeta_1 A_\lambda + (b_0^2 \zeta_1^2 - \zeta_2^2 + \lambda^2 a_0^2) B_\lambda &= 0 \end{aligned} \quad \zeta_2 = \sqrt{1-\zeta_1^2}$$

Нетрудно видеть, что рассматриваемая система будет иметь нетривиальное решение при

$$\begin{aligned} \lambda_1 &= \frac{\sqrt{a_0^2 + 1}}{a_0} \sqrt{\frac{1}{a_0^2 + 1} - \zeta_1^2}, \quad \lambda_2 = \frac{|\delta_1^2 + 1|}{b_0} \sqrt{\frac{1}{b_0^2 + 1} - \zeta_1^2} \\ \lambda_3 &= -\lambda_1, \quad \lambda_4 = -\lambda_2 \end{aligned}$$

Функции  $\lambda_1$ ,  $\lambda_2$  выберем так, чтобы они были положительными при положительным значениям  $\zeta_1$ . Тогда решение системы уравнений (2.1) в рассматриваемом классе функций будет иметь вид

$$u^{(1)} = A_{\lambda_j} f(\zeta_1 x_1 - \lambda_j x_2 + \zeta_2 x_3), \quad u^{(2)} = B_{\lambda_j} f(\zeta_1 x_1 - \lambda_j x_2 + \zeta_2 x_3)$$

причем

$$B_{j,1} = \frac{a_j^2 r_1^2 - \zeta_2^2 + \lambda_j^2 b_0^2}{\lambda_j \zeta_1} A_{j,1} \quad (j = 1, 2, 3, 4) \quad (2.4)$$

Так как в рассматриваемой задаче  $x_j > 0$  и в силу того, что  $\zeta_j, \lambda_j$  ( $j = 1, 2$ ) положительны при положительном мнимых значениях  $\zeta_0$ , то отсюда следует, что наше решение будет представлять уходящую волну, если взять  $A_{j,1} = A_{j,2} = 0$ . Следовательно,

$$u^{(1)} = A_{1,1} f(\zeta_1 x_1 - \lambda_1 x_2 - \zeta_2 x_3), \quad u^{(2)} = B_{1,1} f(\zeta_1 x_1 - \lambda_1 x_2 + \zeta_2 x_3) \quad (j = 1, 2)$$

Имея в виду (2.2), решение задачи (2.1), (2.1)', (2.1)'' ищем в виде

$$u^{(j)} = -\frac{1}{2\pi^2} \operatorname{Re} \left[ \int_{-\infty}^{+\infty} u^{(j)}(\zeta_1, x_1, x_2, x_3) \frac{d\zeta_1}{V 1 - \zeta_1^2} \right] \quad (j = 1, 2)$$

Подставляя  $u^{(1)}, u^{(2)}$  в граничное условие (2.1)', после некоторых выкладок получим следующее:

$$\begin{aligned} \left( 2\zeta_1^2 - \frac{\zeta_2^2}{b_0^2} \right) A_{1,1} + 2\zeta_1^2 A_{1,2} &= \frac{P\zeta_1}{\rho c b_0^2} \\ 2\lambda_1^2 A_{1,1} - \left( 2\zeta_1^2 - \frac{\zeta_2^2}{b_0^2} \right) A_{1,2} &= \frac{Q\lambda_2}{\rho c b_0^2} \\ f(\zeta_1 x_1 + \zeta_2 x_3) &= -\frac{1}{\zeta_1 x_1 + \zeta_2 x_3} + N \end{aligned} \quad (2.5)$$

Здесь  $N$  — произвольная постоянная.

Далее из (2.4) и (2.5) получим

$$\begin{aligned} A_{1,1} &= \frac{Q}{\rho c b_0^2} \frac{2\lambda_2 \zeta_1^2}{\Delta(\zeta_1)} - \frac{P}{\rho c b_0^2} \frac{\zeta_1 (\zeta_2^2 b_0^{-2} - 2\zeta_1^2)}{\Delta(\zeta_1)} + A_{1,1}^0 \\ A_{1,2} &= \frac{P}{\rho c b_0^2} \frac{2\lambda_1 \zeta_1^2}{\Delta(\zeta_1)} + \frac{Q}{\rho c b_0^2} \frac{\lambda_2 (\zeta_2^2 b_0^{-2} - 2\zeta_1^2)}{\Delta(\zeta_1)} + A_{1,2}^0 \\ B_{1,1} &= -\frac{\lambda_2}{\zeta_1} (A_{1,1} - A_{1,1}^0) + B_{1,1}^0, \quad B_{1,2} = \frac{\zeta_1}{\lambda_2} (A_{1,2} - A_{1,2}^0) + B_{1,2}^0 \\ A_{1,1}^0 &= c_1 \delta(\zeta_1 - \zeta_{1R}) + c_2 \delta(\zeta_1 + \zeta_{1R}), \quad A_{1,2}^0 = -\frac{(2\zeta_{1R}^2 - \zeta_{2R}^2 b_0^{-2})}{2\zeta_{1R}} A_{1,1}^0 \\ B_{1,1}^0 &= -\frac{\lambda_{1R}}{\zeta_{1R}} A_{1,1}^0, \quad B_{1,2}^0 = -\frac{(2\zeta_{1R}^2 - \zeta_{2R}^2 b_0^{-2})}{2\lambda_{2R} \zeta_{1R}} A_{1,1}^0, \quad \zeta_{2R} = \sqrt{1 - \zeta_{1R}^2} \\ \Delta(\zeta_1) &= (2\zeta_1^2 - \zeta_2^2 b_0^{-2})^2 + 4\lambda_1^2 \zeta_1^2, \quad \lambda_{jR} = \lambda_j(\zeta_{1R}) \end{aligned}$$

где  $A_{1,1}^0, A_{1,2}^0$  удовлетворяют однородным уравнениям системы (2.5),  $c_1, c_2$  — произвольные постоянные,  $\delta(z)$  — функция Дирака, а  $\zeta_{1R} = c(c^2 + c_R^2)^{-1/2}$ , где  $c_R$  — скорость распространения волн Рэлея, являющаяся корнем уравнения  $\Delta(\zeta_1) = 0$ .

Следовательно,  $u^{(1)}$ ,  $u^{(2)}$  будут даваться формулами

$$u^{(1)} = \frac{1}{2\pi^2} \operatorname{Re} \left[ \int_{-\infty}^{+\infty} \frac{(A_{\lambda_j} - A_{\lambda_j}^0)}{\zeta_1 x_1 - \lambda_j x_2 + \zeta_2 x_3} \frac{d\zeta_1}{\sqrt{1-\zeta_1^2}} \right] -$$

$$- \frac{1}{2\pi^2} \operatorname{Re} \left[ \frac{(-1)^n L_j C_n}{\zeta_{2R} (\zeta_{1R} x_1 + (-1)^n \lambda_{jR} x_2 - (-1)^n \zeta_{2R} x_3)} \right] + N_1$$

$$u^{(2)} = \frac{1}{2\pi^2} \operatorname{Re} \left[ \int_{-\infty}^{+\infty} \frac{(B_{\lambda_j} - B_{\lambda_j}^0)}{\zeta_1 x_1 - \lambda_j x_2 + \zeta_2 x_3} \frac{d\zeta_1}{\sqrt{1-\zeta_1^2}} \right] -$$

$$- \frac{1}{2\pi^2} \operatorname{Re} \left[ \frac{(-1)^n M_j C_n}{\zeta_{2R} (\zeta_{1R} x_1 + (-1)^n \lambda_{jR} x_2 - (-1)^n \zeta_{2R} x_3)} \right] + N_2$$

где  $L_1 = 1$ ,  $L_2 = (\zeta_{2R}^2 b_0^2 - 2\zeta_{1R}^2) / 2\zeta_{1R}$ ,  $M_1 = -\lambda_{1R} \zeta_{1R}^{-1}$ ,  $M_2 = (\zeta_{2R}^2 b_0^2 - 2\zeta_{1R}^2) / 2\zeta_{1R} \lambda_{2R}$ ,  $N_1$ ,  $N_2$  — произвольные постоянные.

Здесь интегралы понимаются в смысле главного значения по Коши, поскольку подынтегральные выражения имеют простые полюсы в точках  $\pm \zeta_{1R}$ .

Вычисляя эти интегралы стандартным методом теории вычетов, при этом имея в виду, что действительная ось должна обходить особые точки подынтегрального выражения сверху, получим

$$u^{(1)} = \frac{1}{\pi} H(x_3) \operatorname{Re} \left[ \frac{i(A_{\lambda_j}(\zeta_1^{(j)}) - A_{\lambda_j}^0(\zeta_1^{(j)}))}{\zeta_2^{(j)} \frac{d}{d\zeta_1} (\zeta_1 x_1 - \lambda_j x_2 + \zeta_2 x_3)|_{\zeta_1 = \zeta_1^{(j)}}} \right] -$$

$$- \frac{1}{2\pi^2} \operatorname{Re} \left[ \frac{\pi i \frac{\partial}{\partial \zeta_2} (A_{\lambda_j} - A_{\lambda_j}^0)|_{\zeta_1 = \zeta_{1R}} \delta_{nn} + (-1)^n L_j C_n}{\zeta_{2R} (\zeta_{1R} x_1 + (-1)^n \lambda_{jR} x_2 - (-1)^n \zeta_{2R} x_3)} \right] + N_1$$

$$u^{(2)} = \frac{1}{\pi} H(x_3) \operatorname{Re} \left[ \frac{i(B_{\lambda_j}(\zeta_1^{(j)}) - B_{\lambda_j}^0(\zeta_1^{(j)}))}{\zeta_2^{(j)} \frac{d}{d\zeta_1} (\zeta_1 x_1 - \lambda_j x_2 + \zeta_2 x_3)|_{\zeta_1 = \zeta_1^{(j)}}} \right] -$$

$$- \frac{1}{2\pi^2} \operatorname{Re} \left[ \frac{\pi i \frac{\partial}{\partial \zeta_2} (B_{\lambda_j} - B_{\lambda_j}^0)|_{\zeta_1 = \zeta_{1R}} \delta_{nn} + (-1)^n M_j C_n}{\zeta_{2R} (\zeta_{1R} x_1 + (-1)^n \lambda_{jR} x_2 - (-1)^n \zeta_{2R} x_3)} \right] + N_2$$

где  $\zeta_1^{(j)}$  определяются из уравнений

$$\zeta_1^{(j)} x_1 - \lambda_j \zeta_1^{(j)} x_2 + \zeta_1^{(j)} x_3 = 0 \quad (j=1, 2)$$

Теперь удовлетворив условиям (2.1)''', получим решение задачи Ламба в следующем виде:

$$u^{(1)} = \frac{1}{\pi} H(x_3) \operatorname{Re} \left[ \frac{i \{A_{1j}(\zeta_1^{(j)}) - A_{2j}^0(\zeta_1^{(j)})\}}{\zeta_1^{(j)} x_1 - \zeta_1^{(j)} x_3 - \zeta_2^{(j)} \lambda_j(\zeta_1^{(j)}) x_2} \right] \quad (j=1, 2)$$

$$u^{(2)} = \frac{1}{\pi} H(x_3) \operatorname{Re} \left[ \frac{i \{B_{1j}(\zeta_1^{(j)}) - B_{2j}^0(\zeta_1^{(j)})\}}{\zeta_1^{(j)} x_1 - \zeta_1^{(j)} x_3 - \zeta_2^{(j)} \lambda_j(\zeta_1^{(j)}) x_2} \right]$$

Երևանский государственный  
университет

Поступила 11 VII 1980

Է. Խ. ԳՐԻԳՐԻԱՆ

ՀԱՐՔ ԱՎԻՔՆԵՐԻ ՄԵԹՈԴԻ ՄԻ ՄՈԳԻՖԻԿԱՑԻԱՅԻ ՎԵՐԱՐԵՐՅԱԿ  
ՈՒՄ ՄԻՋԱՎԱՅՐԻ ՄԵԼԵԱՆԵԿԱՅԻ ՀԱՐՔ ԳՐԱՅԻՆ ԽՆԿԻՐՆԵՐՈՒՄ

Ո. մ փ ո փ ու մ

Աշխատանքում հարթ ալիքների մեթոդով ստացված է մագնիսաառաձգական միջավայրի հավասարումների լուծումը կենտրոնացած իմպուլսների առկայության դեպքում: Լուծման ընթացքում կատարված է մոդիֆիկացիա  $\delta$ -ֆունկցիայի ըստ հարթ ալիքների վերլուծության ներկայացման նկատմամբ: Նշված մոդիֆիկացիան հնարավորություն է տվել բավականին հեշտ ձևով որոշելու մագնիսաառաձգականության հավասարումների սիստեմի ֆունդամենտալ լուծումը: Հետադաշում, նշված մոդիֆիկացիայի օգնությամբ, հարթ ալիքների մեթոդով ստացվում է կամրի խնդրի լուծումը սուաձղական միջավայրի համար:

Ed. Kh. GRIGORIAN

ON SOME MODIFICATION OF THE PLANE WAVES METHOD  
FOR PLANE PROBLEMS IN CONTINUUM MECHANICS

S u m m a r y

The solution for equations of magnetoelastic medium under concentrated loads is obtained by the plane waves method. The modification of the known presentation of  $\delta$ -function in plane wave expansion is carried out in the solution. This modification makes it possible to obtain in a rather easy way the principal solution for magnetoelasticity equations. Then by this modification the solution of Lamb's problem for elastic medium is obtained, using the plane waves method.

ЛИТЕРАТУРА

1. Шилов Г. Е. Математический анализ. Второй спецкурс. М., Изд-во «Наука», 1973.
2. Курант Р. Уравнения с частными производными. М., Изд-во «Мир», 1964.

3. Гельфанд И. М., Шапиро Э. Я. Однородные функции и их приложения. Успехи мат. наук. 1955, т. 10, вып. 3 (65).
4. Яон Ф. Плоские волны и сферические средние в приложении к дифференциальным уравнениям с частными производными. М., ИЛ, 1958.
5. Багдоси А. Г. Определение фундаментальных решений для уравнений магнитоупругости. Изв. АН Арм. ССР, Механика, 1974, т. 27, № 2.
6. Григорян Э. Х. О колебании магнитоупругой среды, возбуждаемой сосредоточенной гармонической силой. Изв. АН Арм. ССР, Механика, 1978, т. 31, № 5.
7. Филипов И. Г., Егорьев О. А. Нестационарные колебания и дифракция волн в акустических и упругих средах. М., «Машиностроение», 1977.
8. Франк Ф., Мизес Р. Интегральные и дифференциальные уравнения математической физики. М., ОГИЗ, 1936.

А. Г. БАГДОЕВ

## ПРОНИКАНИЕ ТЕЛА В СРЕДУ ПРИ НАЛИЧИИ ВИБРАЦИИ

Рассматривается задача о проникании тонкого твердого тела вращения в упругую среду при наличии вибрационного импульса, действующего как до, так и после начала проникания. Рассмотрены две модельные задачи, в первой из которых основным является предварительное нагружение среды с помощью импульса, действующего на ее поверхности, причем во время погружения тела место приложения импульса предположено неизменным. Во второй задаче вибратор находится в вершине проникающего тела. Разумеется, под действием вибраций меняются свойства среды, однако в настоящей статье предположено, что вдали от тела среда остается упругой, хотя и упругие постоянные могут быть функциями частоты колебаний вибрационной силы. Вблизи тела среда течет или появляются трещины по главным меридиональным площадкам.

Задачи о проникании тела в жидкость рассмотрены в [1-3], внедрение свай в грунт в статической постановке изучалось в [4], задача о проникании тонкого тела в упругую среду решена в [5], приближенный подход к задаче вибронгружения, при котором среда моделируется упругой пластижкой, предложен в [6].

§ 1. Проникание тела в среду при вибрационной силе,  
действующей на границе полупространства

Вначале изучается задача Ламба о вертикальной силе, периодической во времени, действующей на границе полупространства,

$$z = 0, \quad z_{,z}(r, z, t) = -p(r) \operatorname{Re} e^{i\omega(t+t_0)}, \quad z_{,r} = 0 \quad (1.1)$$

где  $\operatorname{Re}$  обозначает действительную часть,  $r$  есть радиальная координата, ось  $Oz$  направлена по свободной поверхности среды, ось  $Oz$  — вертикально в глубину среды,  $t$  — время,  $t_0$  — некоторый сдвиг по  $t$ , учитывающий момент приложения периодической силы, в момент  $t = 0$  начинается проникание тела. Уравнение меридиана тела выбирается в виде  $r = r_*(z, t)$ . Вначале определяется поле упругих перемещений от действия силы (1.1). Для определенности полагается  $p(r) = \frac{p_0 \delta(r)}{2\pi r}$ , где  $\delta(x)$  есть дельта-функция,  $p_0$  — постоянное значение силы. Решение уравнений динамической теории упругости при условии (1.1) можно записать в виде [7]

$$u_r^{(0)}(r, z, t) = -\operatorname{Re} e^{i\omega(t+t_0)} \int_0^{\infty} (\alpha A e^{-\alpha z} - \gamma_2 B e^{-\alpha z}) \alpha J_1(\alpha r) d\alpha$$

$$u_r^{(0)}(r, z, t) = \operatorname{Re} e^{i\omega(t-z/c)} \int_0^{\infty} (-v_1 A e^{-\alpha z} + z^2 e^{-\alpha z}) z J_0(zr) dz \quad (1.2)$$

где  $A, B$  находятся с помощью условий (1.1) в виде

$$A = -\frac{\rho_0}{2\pi\mu} \frac{2z^2 - k_1^2}{R(z)}, \quad B = -\frac{\rho_0}{2\mu} \frac{v_2}{R(z)}$$

$$R(z) = (2\alpha^2 - k_1^2)^2 - 4z^2 v_1 v_2, \quad v_n = (z^2 - k_n^2)^{-1/2}, \quad k_n = \frac{\omega}{c_n}, \quad n = 1, 2 \quad (1.3)$$

$c_1$  и  $c_2$  — скорости продольных и поперечных волн.

Для малых  $t$  можно получить

$$u_r^{(0)} \approx -rv, \quad v = \frac{1}{2} \operatorname{Re} e^{i\omega(t+z/c)} \int_0^{\infty} (zAr^{-\alpha z} - v_2 z B e^{-\alpha z}) z^2 dz \quad (1.4)$$

В упругой области для  $t \geq 0$  поле смещений можно представить в виде

$$u_r = u_r^{(0)} + u_r^{(1)}, \quad u_z = u_z^{(0)} + u_z^{(1)}$$

где  $u_r^{(1)}, u_z^{(1)}$  — перемещения, удовлетворяющие нулевым начальным условиям, связанные с прониканием тела. Используя метод источников [3, 5], можно показать, что вблизи тела, то есть для малых  $t$  имеет место

$$u_r^{(1)} \approx \frac{f(z, t)}{2\pi r}, \quad u_z^{(1)} \approx 0 \quad (1.5)$$

где функция  $f(z, t)$ , связанная с плотностью источников, определяется из граничных условий.

Для напряжений в упругой среде имеет место

$$\begin{aligned} \sigma_{rr} &= \lambda \Delta + 2\mu \frac{\partial u_r}{\partial r}, \quad \sigma_{\theta\theta} = \lambda \Delta + 2\mu \frac{u_r}{r} \\ \sigma_{zz} &= \lambda \Delta + 2\mu \frac{\partial u_z}{\partial z}, \quad \sigma_{rz} = \mu \left( \frac{\partial u_r}{\partial z} + \frac{\partial u_z}{\partial r} \right), \quad \Delta = \frac{\partial u_r}{\partial r} + \frac{u_r}{r} + \frac{\partial u_z}{\partial z} \end{aligned} \quad (1.6)$$

Вблизи тела естественно предположить наличие течения среды, которое происходит позади фронта  $r = r_0 \xi_1$ , привязанного к вершине тела, причем при отсутствии вибраций [5] получается, что  $\xi_1 = \text{const}$ . В области течения имеют место уравнения [5]

$$\frac{v_{rr}}{v_r} = \frac{\sigma_{rr} - \sigma}{2\tau_1}, \quad \frac{v_{\theta\theta}}{v_r} = \frac{\sigma_{\theta\theta} - \sigma}{2\tau_1}, \quad \frac{v_{zz}}{v_r} = \frac{\sigma_{zz} - \sigma}{2\tau_1}, \quad \frac{v_{rz}}{v_r} = \frac{\sigma_{rz}}{\tau_1} \quad (1.7)$$

Здесь

$$\tau_{11} = \frac{\partial v_r}{\partial r}, \quad \tau_{\theta\theta} = \frac{v_r}{r}, \quad \tau_{rz} = \frac{\partial v_z}{\partial z}$$

где  $v_r, v_z$  — компоненты скорости, причем в основном порядке  $|\tau_{11}| \ll |\tau_{rz}|$  и тогда получится для интенсивности скорости деформации

$$v_1 = 2 \frac{v_r}{r}$$

Постоянная  $6\tau_2^2$  есть правая часть условия Мизеса

$$(\sigma_{rr} - \sigma_{\theta\theta})^2 + (\sigma_{rr} - \sigma_{zz})^2 + (\sigma_{\theta\theta} - \sigma_{zz})^2 + 6\tau_2^2 = 6\tau_2^2 \quad (1.8)$$

Отметим, что решение  $u_r^{(0)}$ ,  $u_z^{(0)}$  получено на основании граничного условия (1.1) на поверхности  $z=0$ .

Для  $u_r^{(1)}$ ,  $u_z^{(1)}$  имеются нулевые граничные условия (1.1), однако, как показано в [5], всюду, за исключением малой окрестности точки  $O$ , отраженные от  $z=0$  волны имеют порядок  $\lambda_1^2$ , где  $\lambda_1$  — характерная толщина тела, и в порядке  $O(1)$ , в котором вычисляется  $\frac{\partial u_r^{(1)}}{\partial r}$  на теле, ими можно пренебречь. Отраженные волны, имеющие порядок малости  $\lambda_1^2$ , можно определять по  $u_r^{(1)}$ ,  $u_z^{(1)}$  методом [5]. Точно так же не влияет на решение в основном порядке и малая окрестность точки  $O$ , где порядки величин  $v_r$  такие же, как и на всем теле [5]. Таким образом, при вычислении напряжений в порядке  $O(1)$  достаточно для  $u_r^{(1)}$ ,  $u_z^{(1)}$  удовлетворять нулевым начальным условиям и граничным условиям при  $r = r_k \xi_0$ . Условие малости  $\frac{\partial v_z}{\partial z}$  имеет место [5] при проникании без вибраций и соответствует условию проникания, при котором по крайней мере  $v_r \sim v_z$ , и тогда в порядке  $O(1)$  в области течения уравнение несжимаемости примет вид

$$\frac{\partial v_r}{\partial r} + \frac{v_r}{r} = 0 \quad (1.9)$$

причем  $3\sigma = \sigma_{rr} + \sigma_{\theta\theta} + \sigma_{zz}$ . Из (1.7) в основном порядке получится

$$\sigma_{rr} = \sigma - \tau_{\theta\theta}, \quad \sigma_{\theta\theta} = \sigma + \tau_{rr}, \quad \sigma_{zz} = \sigma \quad (1.10)$$

Интегрируя (1.9) и удовлетворяя условию на теле  $v_r = \frac{\partial r_k}{\partial t}$  или  $u_r = r_k$ , можно получить при  $r < r_k \xi_0$

$$v_r = \frac{r_k}{r} \frac{\partial r_k}{\partial t}, \quad u_r = r - \sqrt{r^2 - r_k^2} \quad (1.11)$$

Тогда из непрерывности нормальных перемещений на поверхности  $r = r_k \xi_0$  в силу того, что  $\xi_0 \gg 1$  и поэтому  $u_r \approx \frac{r_k^2}{2r}$ , получится

$$\frac{r_k}{2\xi_0} = u_r^{(0)} + \frac{1}{2\pi r_k \xi_0} f(z, t) \quad (1.12)$$

Условие для нормального импульса в силу малости скоростей частиц можно записать в виде

$$\tau_{rr}^{(0)} + \tau_{rr}^{(1)} = \tau_{rr} \quad (1.13)$$

Для определения  $\sigma_{rr}$  в области течения можно использовать упрощенные уравнения движения

$$\frac{\partial \sigma_{rr}}{\partial r} + \frac{\sigma_{rr} - \sigma_{\theta\theta}}{r} = 0$$

где использована малость  $\sigma_{rz}$  и  $u_r$ , откуда согласно (1.10) получится

$$\sigma_{rr} = 2\tau_0 \ln r + \varphi(z, t) - \tau_0 \quad (1.14)$$

В силу (1.5), (1.6)  $\sigma_{rr}^{(1)} = -\frac{\mu}{r^2} f(z, t)$ , тогда функция  $\varphi$  определится из (1.12), (1.13) в виде

$$2\tau_0 \ln \xi_0 r + \varphi - \tau_0 = -\frac{\mu}{\xi_0^2} - (2\lambda + 4\mu)x + \lambda \frac{\partial u_z^{(0)}}{\partial z} \quad (1.15)$$

где

$$\frac{\partial u_z^{(0)}}{\partial z} = \operatorname{Re} e^{i\omega(t-t_0)} \int_0^{\infty} (\nu_1^2 A e^{-\nu_1 z} - \alpha^2 \nu_2 B e^{-\nu_2 z}) z dz \quad (1.16)$$

Для определения функции  $\xi_0$  имеется условие (1.8), которое следует записывать для упругого решения, причем, учитывая (1.4), можно найти

$$\frac{1}{\xi_0^2} = -2x + \sqrt{\frac{\tau_0^2}{\mu^2} - \frac{4}{3} \left\{ x + \frac{\partial u_z^{(0)}}{\partial z} \right\}^2} \quad (1.17)$$

Необходимое условие того, что решение верно

$$\frac{\tau_0^2}{\mu^2} > \frac{4}{3} \left\{ x + \frac{\partial u_z^{(0)}}{\partial z} \right\}^2 + 4x^2 \quad (1.18)$$

выполняется для достаточно малых значений импульса. Для больших  $p_0$  область течения появляется до начала проникания и упругое решение при  $r > r_k \xi_0$  не имеет места. В области течения согласно (1.14), (1.15)

$$\sigma_{rr} = 2\tau_0 \ln \frac{r}{r_k \xi_0} - \frac{\mu}{\xi_0^2} - (2\lambda + 4\mu)x + \lambda \frac{\partial u_z^{(0)}}{\partial z}, \quad \sigma_{\theta\theta} = \sigma_{rr} + 2\tau_0 \quad (1.19)$$

и если при  $r = r_k \xi_0$   $\sigma_{\theta\theta} < \sigma_{\theta\theta}^*$ , где  $\sigma_{\theta\theta}^*$  есть прочность на отрыв по меридиональным площадкам, то и при  $r < r_k \xi_0$   $\sigma_{\theta\theta} < \sigma_{\theta\theta}^*$  и трещины не образуются [5].

Можно учесть также тот факт, что под действием вибраций упругие постоянные принимают их новые значения за конечное время<sup>4</sup>. Один из способов, в котором среда вдали от тела переходит из вязкого в упругое состояние, заключается в замене постоянных  $\lambda, \mu$  на [9]

$$\lambda \left( 1 + \tau \frac{\partial}{\partial t} \right), \quad \mu \left( 1 + \tau \frac{\partial}{\partial t} \right)$$

где  $\tau, \tau$  есть время релаксации, при этом (1.5) снова имеет место. Также можно учесть в области течения эффекты вязкости, заменяя в

<sup>4</sup> Проще всего взять упругое решение вдали от тела, в котором  $\mu = \mu(t)$ , при этом (1.19) снова имеет место.

(1.7)  $\frac{\tau_0}{\varepsilon_i}$  на  $\mu' + \frac{\tau_0}{\varepsilon_i}$ , где  $\mu'$  есть коэффициент сдвиговой вязкости, а также можно учесть и упругие слагаемые в тензоре скоростей деформаций [10].

Можно решить также задачу проникания в грунт, в котором вблизи тела имеет место условие сыпучести [2]

$$\sigma_{\theta\theta} = \frac{1-k}{1+k} \sigma_{rr} + \frac{\tau_0}{1+k}, \quad \varepsilon_{\theta\theta} = 2\varepsilon_r$$

Вводя лагранжеву координату  $\xi = r - u_r$ , получим из (1.11)  $u_r = \sqrt{\xi^2 + r_k^2} - \xi$ , а уравнение движения дает (после отбрасывания  $\frac{\partial^2 u_r}{\partial t^2}$ )

$$\sigma_{rr} = \frac{\tau_0}{\nu(1+k)} \left(1 - \frac{r_k^2}{r^2}\right) + \frac{r_k^2}{r^2} \sigma_{rr}(0, t), \quad \nu = \frac{2k}{1+k}$$

На фронте  $r = r_k \xi_0$ ,  $\sigma_{rr} \approx \sigma_{rr}^{(0)} + \sigma_{rr}^{(1)}$ , откуда получится

$$\begin{aligned} \frac{\tau_0}{\nu(1+k)} \left(1 - \frac{1}{\xi_0^2}\right) + \frac{1}{\xi_0^2} \sigma_{rr}(0, t) = -2(\lambda + \mu) \kappa + \\ + \lambda \frac{\partial u_z^{(0)}}{\partial z} - \frac{\mu(1 + 2\kappa \xi_0^2)}{\xi_0^2} \end{aligned}$$

$\sigma_{rr}^{(0)}$  определяется из указанного условия предельного равновесия или непрерывности  $\sigma_{\theta\theta}$ , что дает с учетом того, что  $\sigma_{rr}^{(0)} \approx \sigma_{\theta\theta}^{(0)}$ ,  $\sigma_{rr}^{(1)} \approx -\sigma_{\theta\theta}^{(1)}$

$$\frac{2\mu(1 + 2\kappa \xi_0^2)}{\xi_0^2} + \left\{ -2(\lambda + \mu) \kappa + \lambda \frac{\partial u_z^{(0)}}{\partial z} \right\} 2k = \tau_0$$

При отсутствии вибраций отсюда снова получится  $\xi_0^2 = \frac{\mu}{\tau_0}$ . Давление на теле  $\sigma_{rr}(0, t)$  найдется по предыдущей формуле. В дальнейшем для простоты при расчетах взята первоначальная модель среды с областью течения вблизи тела и упругой средой при  $r \geq r_k \xi_0$ . Сила сопротивления прониканию равна

$$P = -2\pi \int_0^f r_k \sigma_{rr}|_{r=r_k} (\nu_1 + k_1) dz$$

где  $f(t)$  есть глубина проникания,  $\nu_1 \approx -\frac{\partial r_k}{\partial z}$  есть полуугол раствора тела,  $k_1$  — коэффициент трения. Записывая уравнение движения тела  $m\ddot{f} = -P + p_0 \cos \omega(t + t_1)$ , можно из (1.17) для ряда значений  $z$  находить  $\xi_0$  на каждом слое по  $t$ . Тогда для  $f(t)$  получится обыкновенное дифференциальное уравнение, которое при заданной форме тела  $r_k = r_k(f(t) - z)$  можно решать для начальных условий  $t=0, f(t)=0$ .

$f'(t) = V$ ,  $\xi_0 = 1$ . При  $\mu \neq 0$  или при  $\tau_0 \neq 0$  решение имеет особенность в вершине тела. Вблизи точки пересечения тела со свободной поверхностью  $z=0$  также требуется уточнение решения [5]. Согласно решению в области  $r < r_1 \xi_0$  на теле  $\frac{\partial u_r}{\partial r} = \infty$ , что согласуется с тем фактом, что точки оси  $r=0$  переходят в точки поверхности  $r=r_1$ . Кроме того, вблизи тела можно пренебречь  $u_r^{(0)}$ ,  $u_z^{(0)}$  по сравнению с  $u$ , в то время, как в упругой области они имеют один порядок.

## § 2. Проникание при наличии фронта трещин

При невыполнении условия  $\tau_0 < \tau_*$  при  $r=r_1 \xi_0$  можно предположить, что позади фронта  $r=r_1 \xi_0$  имеет место образование меридиональных трещин, на которых выполняется условие  $\tau_{00} = 0$  [8]. Повторяя выкладки работы [5] с учетом вибрационных перемещений § 1, можно получить в области трещин вблизи тела

$$\sigma_{rr} = \frac{2\mu\eta r_1}{r} \left\{ -\frac{1}{\tau_0 + \ln \xi_0} + \xi_0 \frac{-2(\lambda + 2\mu) + \lambda \frac{\partial u_z^{(0)}}{\partial z}}{2\mu(\ln \xi_0 + \tau_0)} \right\} \quad (2.1)$$

где  $\xi_0$  определяется из соотношения

$$-2\lambda \frac{\lambda(\tau_0 + \ln \xi_0) + (\lambda + 2\mu) \ln \xi_0}{\eta + \ln \xi_0} + \lambda \frac{\partial u_z^{(0)}}{\partial z} \frac{\eta + 2 \ln \xi_0}{\tau_0 + \ln \xi_0} + 2\mu \frac{\tau_0}{\xi_0(\tau_0 + \ln \xi_0)} = \tau_* \quad (2.2)$$

причем  $\tau_* = \frac{2(\lambda + \mu)}{\lambda + 2\mu}$ . Условие того, что реализуется фронт трещин, позади которого не возникает фронт течения, помимо вышеуказанного, имеет вид

$$\sqrt{\frac{(\lambda + \mu)^2 + \frac{1}{3}\mu^2}{(\eta + \ln \xi_0)(\lambda + 2\mu)}} \left\{ 1 + \frac{\lambda \frac{\partial u_z^{(0)}}{\partial z}}{2\mu} \xi_0 \right\} < \sqrt{\frac{3}{2}} \frac{\tau_*}{\mu} \quad (2.3)$$

При невыполнении условия (2.3) позади фронта  $r=r_1 \xi_0$  трещин образуется фронт течения  $r=r_k \xi_1$ . Впереди фронта  $r=r_k \xi_0$  по-прежнему имеет место упругое решение (1.4), (1.6). Так же, как и в задаче [5], где отсутствуют вибрации, можно получить решение в области трещин  $r_k \xi_1 < r < r_1 \xi_0$  и области течения  $r_k < r < r_1 \xi_1$ , в которой имеет место

$$\sigma_{rr} = 2\tau_* \ln \frac{r}{r_k \xi_1} - \tau_* \mu \frac{1}{\xi_1^2 \left( \ln \frac{\xi_0}{\xi_1} + \eta \right)} +$$

$$+ \eta \frac{-2(\lambda + 2\mu)x + \lambda \frac{\partial u_z^{(0)}}{\partial z} \frac{\xi_0}{\xi_1}}{\ln \frac{\xi_0}{\xi_1} + \eta} \frac{\xi_0}{\xi_1} \quad (2.4)$$

где  $\xi_0, \xi_1$  определяются уравнениями

$$\frac{1}{\ln \frac{\xi_0}{\xi_1} + \eta} \left\{ \frac{\mu}{\lambda + 2\mu} \frac{1}{\xi_1^2} + \frac{\xi_0}{\xi_1} 2x - \frac{\xi_0}{\xi_1} \frac{\lambda}{\lambda + 2\mu} \frac{\partial u_z^{(0)}}{\partial z} \right\} \sqrt{\frac{(\lambda + \mu)^2}{\mu^2} + \frac{1}{3}} = \frac{\tau_*}{\mu} - 4(\lambda + \mu)x + 2\lambda \frac{\partial u_z^{(0)}}{\partial z} + \frac{\tau_* \mu}{\xi_1 \xi_0 (\ln \frac{\xi_0}{\xi_1} + \eta)} + \tau_* \frac{2x(\lambda + 2\mu) - \lambda \frac{\partial u_z^{(0)}}{\partial z}}{\ln \frac{\xi_0}{\xi_1} + \eta} = \tau_* \quad (2.5)$$

Условие отсутствия фронта трещин позади фронта  $r = r_\lambda \xi$ ,

$$2\tau_* + \frac{\xi_0}{\xi_1} \left\{ -4(\lambda + \mu)x + 2\lambda \frac{\partial u_z^{(0)}}{\partial z} \right\} < \left( 1 + \frac{\xi_0}{\xi_1} \right) \sigma_* \quad (2.6)$$

Полученные формулы достаточно просты и по ним можно проводить численные расчеты, причем были проведены расчеты для задачи § 1, в которой имеется фронт течения, и тело взято в виде конуса с углом полураствора  $\lambda_1$ . Были взяты следующие значения величин  $c_1 = a$ ,  $c_2 = b$ :

$$\frac{b}{a} = \frac{1}{1.81}, \quad \frac{V}{b} = 0.1, \quad \omega t_1 = 50, \quad \omega t = 6.86; 10$$

$$\frac{\omega z}{b} = z_1, \quad 0.1 < z_1 < \frac{V}{b} \omega t, \quad \frac{\xi_0}{\mu} = 0.01; 0.1$$

$$p = \frac{P_0 \omega^2}{4\pi \mu b^2}, \quad p = 10^{-6}; 10^{-3}; 10^{-1}$$

где  $V$  — скорость проникания, которая пока предположена постоянной. Сила сопротивления записывается в виде

$$P = -(\iota_1 + k_1) \lambda_1 \int_0^{\omega t} 2\pi (Vt - z) \tau_{rz} dz$$

или

$$P = 2\pi (\iota_1 + k_1) \lambda_1 \frac{b^2 \tau_1}{\omega^2} P', \quad P' = - \int_0^{\frac{V}{b} \omega t} \left( \frac{V}{b} \omega t - z_1 \right) \frac{\tau_{rz}}{\tau_1} dz_1$$

где  $\lambda_1$  — угол полураствора,  $k_1$  — коэффициент трения.

Ввиду того, что период по  $\omega t$  функций

$$\frac{x}{p} = J, \quad \frac{1}{p} \frac{\partial u_z^{(l)}}{\partial z} = K$$

равен  $2.7 \approx 6.28$ , можно продолжить полученные значения периодически по  $\omega t$ , причем значения  $J, K$  в точке  $6.86$  обратны по знаку их величинам в точке  $10$ .

Результаты расчетов приведены в табл. 1, где даны результаты для  $\omega t = 10$ , причем для  $\omega t = 6.86$  следует поменять знаки  $J, K$ , а также в

Таблица 1

$\omega t = 10$

$x_1$	0.1	0.2	0.3	0.4	0.5	0.6	0.7	0.8	0.9	1.0
$J$	74.666	18.91	8.633	5.041	3.374	2.461	1.902	1.53	1.221	1.101
$K$	233.684	58.935	26.645	15.335	10.082	7.210	5.461	4.309	3.427	2.977

табл. 2, 3, где в последнем столбце записаны постоянные значения  $\frac{1}{\xi_1}$  и  $\sigma_{rr}$ , получаемые при  $p=0$ ; при  $x_1 > 0.7$  величины  $\frac{1}{\xi_1}$  и  $\sigma_{rr}$  почти по-

Таблица 2

$p = 10^{-5}, \quad \frac{\tau_s}{\mu} = 0.01$

$x_1$		0.1	0.2	0.3	0.4	0.5	0.6	0.7	$p=0$
$\frac{1}{\xi_1}$	$\omega t = 10$	0.008	0.01	0.01	0.01	0.01	0.01	0.01	0.01
	$\omega t = 6.86$	0.011	0.01	0.01	0.01	0.01	0.01	0.01	0.01
$\sigma_{rr}$	$\omega t = 10$	5.82	5.65	5.63	5.62	5.61	5.61	5.61	5.6
	$\omega t = 6.86$	5.42	5.56	5.58	5.59	6.6	5.6	5.6	5.6

Таблица 3

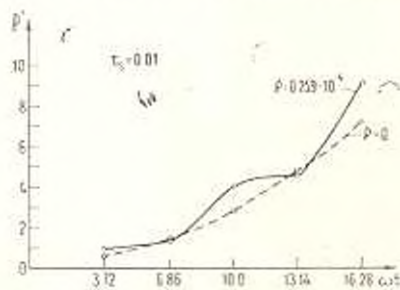
$p = 10^{-4}, \quad \frac{\tau_s}{\mu} = 0.1$

$x_1$		0.1	0.2	0.3	0.4	0.5	0.6	0.7	$p=0$
$\frac{1}{\xi_1}$	$\omega t = 10$	0.079	0.096	0.098	0.099	0.099	0.1	0.1	0.1
	$\omega t = 6.86$	0.108	0.103	0.102	0.101	0.101	0.101	0.1	0.1
$\sigma_{rr}$	$\omega t = 10$	3.52	3.35	3.33	3.32	3.31	3.3	3.3	3.3
	$\omega t = 6.86$	3.11	3.25	3.28	3.29	3.29	3.3	3.3	3.3

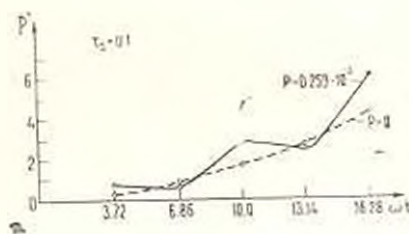
стоянны, причем то же относится к величинам  $\frac{1}{\xi_1}$  и  $\sigma_{rr}$  при значениях

$p = 10^{-6}, \quad \frac{\tau_s}{\mu} = 0.01$ , где  $\sigma_{rr} = 5.6$  и при  $p = 10^{-6}, p = 10^{-5}, \frac{\tau_s}{\mu} = 0.1$ ,

где  $-\frac{\sigma_{xx}}{\tau_s} = 3.3$ . Кроме того, на графиках 1, 2 приведены кривые, дающие изменение  $P'$  в зависимости от  $\omega t$ , причем пунктиром дана линия  $P'_{00}$  соответствующая  $\mu = 0$ . Следует отметить, что значения  $K, J, \frac{1}{\tau_0}, \frac{\sigma_{xx}}{\tau_s}, P$  годятся для произвольного закона проникания  $f(t)$ , только следует заменить  $V$  на  $\frac{f}{t}$ . Полученные значения  $\sigma_{xx}$  и  $P$  позволяют оценить влияние вибраций на сопротивление среды прони-



Фиг. 1.



Фиг. 2.

канию и получить закон движения тела в среде при наличии вибраций. Следует отметить, что при  $\frac{\tau_s}{\mu} = 0.1$  значения  $-\frac{\sigma_{xx}}{\mu}$  больше значений при  $\frac{\tau_s}{\mu} = 0.01$ , однако  $\left(-\frac{\sigma_{xx}}{\tau_s}\right)$  при этом уменьшается.

Предполагая, что вибрации сильно уменьшают  $\mu$  и  $\frac{\mu}{\tau_s}$ , отсюда можно получить вывод о значительном уменьшении  $(-\sigma_{xx})$  и силы сопротивления из-за вибраций.

Тот же вывод относится к коэффициенту трения.

Расчеты выполнены Г. А. Саркисяном.

### § 3. Случай вибрационной силы, приложенной в вершине тела

В вышерассмотренных задачах было сделано предположение о том, что вибрация имеет место и до начала проникания, причем вибрационная сила все время приложена в точке  $O$  свободной поверхности среды. Для виброударных инструментов, по-видимому, более естественным является предположение о том, что вибрации передаются в среду через силу, приложенную в вершине тела. Вначале решается задача о движении точечной силы со скоростью проникания  $V$ , которая для простоты предложена постоянной.

Уравнения движения в цилиндрической системе координат записываются в виде

$$\begin{aligned}
& (\lambda + 2\mu) \frac{\partial^2 v'}{\partial r^2} + (\lambda + 2\mu) \frac{1}{r} \left( \frac{\partial v'}{\partial r} - \frac{v'}{r} \right) + \mu \frac{\partial^2 v'}{\partial z^2} + (\lambda + \mu) \frac{\partial^2 u'}{\partial r \partial z} = \\
& \quad - \rho \frac{\partial^2 v'}{\partial t^2} \\
& (\lambda + \mu) \frac{\partial^2 u'}{\partial r \partial z} + (\lambda + \mu) \frac{1}{r} \frac{\partial u'}{\partial z} + \mu \frac{\partial^2 u'}{\partial r^2} + \mu \frac{1}{r} \frac{\partial u'}{\partial r} + (\lambda + 2\mu) \frac{\partial^2 u'}{\partial z^2} = \\
& \quad = f + \rho \frac{\partial^2 u'}{\partial t^2}
\end{aligned} \tag{3.1}$$

где  $f$  — объемная сила, направленная по оси  $z$ ,

$$f = -\operatorname{Re} p_0 \frac{1}{2\pi r} \delta(r) \delta(Vt - z) e^{-i\omega t} \tag{3.2}$$

Удобно ввести функции

$$u' = \operatorname{Re} u, \quad v' = \operatorname{Re} v \tag{3.3}$$

тогда для  $u, v$  знак  $\operatorname{Re}$  в (3.2) можно отбросить. Решение для преобразования Лапласа по  $t$  от  $u, v$  ищется в виде

$$\bar{v} = \int_{-\infty}^{\infty} \int_0^{\infty} A(\alpha, \beta) e^{i\alpha z} J_2(\beta r) dz d\beta \tag{3.4}$$

$$\bar{u} = \int_{-\infty}^{\infty} \int_0^{\infty} B(\alpha, \beta) e^{i\alpha z} J_0(\beta r) dz d\beta$$

Подставляя (3.4) в (3.1), к которому применено двустороннее преобразование Лапласа, и обращая преобразования Фурье по  $\alpha$  и Ганкеля по  $\beta$ , можно найти

$$A = -\frac{\rho_0}{2\pi \Delta} i\alpha (a^2 - b^2) \beta^2 \delta(\omega - \omega_0 - V\alpha) \tag{3.5}$$

$$B = \frac{\rho_0}{2\pi \Delta} \beta (a^2 \beta^2 + b^2 \alpha^2 - \omega^2) \beta \delta(\omega - \omega_0 - V\alpha)$$

где  $s = -i\omega$  — параметр преобразования Лапласа,

$$\Delta = \alpha^2 (\omega^2 - a^2 \alpha^2 - a^2 \beta^2) (\omega^2 - b^2 \alpha^2 - b^2 \beta^2)$$

и использовано преобразование Лапласа

$$\int_0^{\infty} e^{-st} \delta(Vt - z) e^{-i\omega_0 t} dt = \frac{1}{V} e^{i\frac{\omega_0}{V}(z - \omega_0)}$$

Применяя обратное преобразование Лапласа к (3.4), (3.5), можно получить, например, для  $v$

$$v = -\frac{1}{2\pi} \int_{-\infty}^{\infty} \int_0^{\infty} e^{-i\omega_1 t} \frac{i\alpha_1^2 (\alpha^2 - b^2) \rho p_0 e^{i\alpha_1(z-Vt)} J_1(\beta r) d\alpha d\beta}{2\pi \rho (\omega_1^2 - \alpha^2 \alpha^2 - \alpha^2 \beta^2) (\omega_1^2 - b^2 \alpha^2 - b^2 \beta^2)} \quad (3.6)$$

где  $\omega_1 = \omega_0 + V\alpha$ .

Проводится вычисление вычетов по  $\alpha$  в точках  $\omega_0 + V\alpha = \omega$  или

$$\alpha_{1,2}^{(1,2)} = \frac{\omega_0 V + J_{1,2}}{c_{1,2}^2 - V^2} \quad J_n = c_n \sqrt{\omega_0^2 - \beta^2 (c_n^2 - V^2)} \quad (3.7)$$

причем верхнему индексу 1 соответствуют знак «+», и значения  $\alpha_{1,2}^{(1)} = \sqrt{\frac{\omega^2}{c_{1,2}^2} - \beta^2}$ ; это решение соответствует  $z > Vt$ . Соответственно при  $z < Vt$  выбирается верхний индекс 2 в (3.7), знак «-» и значения  $\alpha_{1,2}^{(2)} = -\sqrt{\frac{\omega^2}{c_{1,2}^2} - \beta^2}$ . Окончательно получится при  $z < Vt$

$$v = -p_0 \sum_{n=1}^2 \int_0^{\infty} (-1)^{n-1} e^{-i\omega_n t} \frac{z_n^{(2)} \beta^2 e^{i\alpha_n^{(2)}(z-Vt)} c_n^2 J_1(\beta r)}{\omega_n^{(2)2} 4\pi \rho J_n} d\beta \quad (3.8)$$

$$u = p_0 \int_0^{\infty} e^{-i\omega_1 t} \frac{i\alpha_1^{(2)2} \beta c_1^2 e^{i\alpha_1^{(2)}(z-Vt)} J_0(\beta r)}{\omega_1^{(2)2} 4\pi \rho J_1} d\beta +$$

$$+ p_0 \int_0^{\infty} e^{-i\omega_2 t} \frac{i\alpha_2^{(2)2} c_2^2 e^{i\alpha_2^{(2)}(z-Vt)} J_0(\beta r)}{4\pi \rho \omega_2^{(2)2} J_2} d\beta$$

где использовано соотношение

$$1 - V \frac{d\alpha_n}{d\omega_n} = \frac{\omega_n (1 - V^2/c_n^2) - \omega_0}{V \alpha_n}$$

и имеет место

$$\omega_n^{(1,2)} = \frac{\omega_0 \pm V J_n / c_n^2}{1 - V^2/c_n^2}$$

причем точки  $\alpha_{1,2}^{(2)}$  находятся в нижней полуплоскости. При  $z > Vt$  взяты значения  $\alpha_{1,2}^{(1)}$ .

Для того, чтобы выяснить являются ли непрерывными значения  $v$ ,  $u$  при  $z = Vt$ , можно использовать соотношение [5]

$$\int_0^{\infty} \beta \frac{e^{i|\alpha| \sqrt{\omega^2/c_n^2 - \beta^2}}}{\sqrt{\beta^2 - \frac{\omega^2}{c_n^2}}} J_0(\beta r) d\beta = \frac{i \frac{\omega}{c_n} V \sqrt{z^2 - r^2}}{z^2 - r^2}$$

где  $\sqrt{\beta^2 - \omega^2/c_n^2} = -i \sqrt{\frac{\omega^2}{c_n^2} - \beta^2}$ , и получить из (3.8)

$$\frac{\partial^2 v}{\partial t^2} = p_0 \frac{\partial^2}{\partial z \partial r} \sum_{n=1}^{\infty} e^{-i n \omega t} (-1)^{n-1} e^{i \frac{\omega}{c_n^2} V (z-Vt)} \frac{e^{i \frac{\omega}{c_n} \sqrt{1-V^2/c_n^2}} R_n}{4\pi \rho R_n}$$

причем  $R_n = \sqrt{\frac{(Vt-z)^2}{1-V^2/c_n^2} + r^2}$ . Поскольку такое же выражение получается при  $z > Vt$ , отсюда следует правильность (3.8) и соответствующего значения для  $z > Vt$ . Можно вычислить сначала в (3.4), (3.5) вычет по  $z$  и получить

$$\begin{aligned} -\bar{u} &= \pm p_0 \int_0^{\infty} \sum_{n=1}^2 (-1)^{n-1} \frac{\beta_n^2 (\omega - \omega_0 - V\alpha_n) e^{i n \omega t}}{2 \rho \omega^2} J_1(\beta r) d\beta \\ -\bar{u} &= \mp p_0 \int_0^{\infty} \frac{i \alpha_1 \beta^2 (\omega - \omega_0 - V\alpha_1)}{2 \omega^2 \rho} J_0(\beta r) d\beta \mp \\ &\mp p_0 \int_0^{\infty} i \beta^2 \alpha_2 (\omega - \omega_0 - V\alpha_2) e^{i \alpha_2 z} J_0(\beta r) \frac{d\beta}{2 \alpha_2 \omega^2 \rho} \end{aligned} \quad (3.9)$$

где  $\alpha_1 = \pm \sqrt{\frac{\omega^2}{a^2} - \beta^2}$ ,  $\alpha_2 = \pm \sqrt{\frac{\omega^2}{b^2} - \beta^2}$ , верхние (нижние) знаки относятся к  $z > Vt$  ( $z < Vt$ ).

Для того, чтобы получить совпадение с формулой (3.8), следует при  $z < Vt$  вычислять в (3.9) интегралы от дельта-функции в точках  $\alpha_{1,2}^{(2)}$ , а при  $z > Vt$  — в точках  $\alpha_{1,2}^{(1)}$ . (3.8) дает решение стационарной задачи без учета нулевых начальных условий и свободной поверхности.

Для достаточно больших  $t$  и малых  $\frac{V}{b}$  можно и при наличии последней считать задачу не зависящей от начальных условий. Тогда для построения отраженных от поверхности  $z=0$  волн следует полагать для полных комплексных перемещений  $V^1 = v + v^1$ ,  $U^1 = u + u^1$ , где  $\bar{v}$ ,  $\bar{u}$  даются (3.4), в которых берутся нижние знаки

$$\begin{aligned} \bar{v}_1 &= \int_0^{\infty} \sum_{n=1}^2 A_n(\beta) e^{-i n \omega t} J_1(\beta r) d\beta \\ \bar{u}_1 &= \int_0^{\infty} \sum_{n=1}^2 B_n(\beta) e^{-i n \omega t} J_0(\beta r) d\beta, \quad U^1 = \text{Re } U^1, \quad V^1 = \text{Re } V^1 \end{aligned} \quad (3.10)$$

На поверхности  $z=0$  имеются условия  $\alpha_{z,z} = \alpha_{r,r} = 0$ , которые дают

$$\lambda \left( \frac{\partial V^1}{\partial r} + \frac{V^1}{r} \right) + (\lambda + 2\mu) \frac{\partial U^1}{\partial z} = 0 \quad (3.11)$$

$$\frac{\partial V^1}{\partial z} + \frac{\partial U^1}{\partial r} = 0$$

Подставляя (3.9), (3.10) в (3.11), учитывая соотношения, получаемые из уравнений (3.1), верных и для  $u_i, v_i$  ( $i = 0$ ), после подстановки в (3.10)

$$B_1 = -\frac{\alpha_1}{i\beta^2} A_1, \quad B_2 = \frac{\beta}{i\alpha_2} A_2, \quad \text{можно получить решение в виде}$$

$$\begin{aligned} & -A_1 \Delta_1 = \frac{p_0}{2\omega^2 \rho} \beta^2 b^2 R_1 \delta(\omega - \omega_0 - V\alpha_1) + \\ & + 2 \frac{b^2 p_0 \beta^4}{\rho \omega^2} \left( \frac{\omega^2}{b^2} - 2\beta^2 \right) \delta(\omega - \omega_0 - V\alpha_2), \quad R_1 = \left( \frac{\omega^2}{b^2} - 2\beta^2 \right)^2 - 4\alpha_1^2 \alpha_2 \\ & -A_2 \Delta_1 = -2\beta^2 \left( \frac{\omega^2}{b^2} - 2\beta^2 \right) p_0 \frac{\alpha_1 \alpha_2 \beta^2}{\omega^2 \rho} \delta(\omega - \omega_0 - V\alpha_1) + \\ & + p_0 \frac{\beta^2 b^2}{2\omega^2 \rho} \delta(\omega - \omega_0 - V\alpha_2), \quad \frac{\Delta_1}{b^2} = \left( \frac{\omega^2}{b^2} - 2\beta^2 \right)^2 + 4\alpha_1 \alpha_2 \beta^2 \end{aligned}$$

Подставляя полученные соотношения в (3.10), после обратного преобразования по  $\omega$  с учетом того, что в силу  $-(z + Vt) < 0$  нужно вычислять интегралы от дельта-функции в точках  $\alpha_{1,2}^{(2)}$ , получится

$$\begin{aligned} -v_1 &= p_0 \int_0^{\infty} \sum_{n=1}^2 \Omega_n(\omega_n^{(2)}) J_1(\beta r) e^{-i\omega_n^{(2)} t - i\alpha_1(\omega_n^{(2)}) z} d\beta + \\ & - p_0 \int_0^{\infty} \sum_{n=1}^2 K_n(\omega_n^{(2)}) J_1(\beta r) e^{-i\omega_n^{(2)} t - i\alpha_2(\omega_n^{(2)}) z} d\beta \quad (3.12) \\ -u_1 &= p_0 \int_0^{\infty} \sum_{n=1}^2 \Omega_n(\omega_n^{(2)}) J_0(\beta r) e^{-i\omega_n^{(2)} t - i\alpha_1(\omega_n^{(2)}) z} \frac{i\alpha_1(\omega_n^{(2)})}{\beta} d\beta + \\ & + p_0 \int_0^{\infty} \sum_{n=1}^2 K_n(\omega_n^{(2)}) J_0(\beta r) e^{-i\omega_n^{(2)} t - i\alpha_2(\omega_n^{(2)}) z} \frac{\beta}{i\alpha_2(\omega_n^{(2)})} d\beta \end{aligned}$$

где

$$\Omega_1(\omega) = \frac{\beta^2 b^2 R_1(\omega) V \alpha_1}{4\pi \Delta_1(\omega) [\omega(1 - V^2 \alpha^{-2}) - \omega_0] \omega^2 \rho}$$

$$\Omega_2(\omega) = \frac{b^2 \beta^4 \left( \frac{\omega^2}{b^2} - 2\beta^2 \right) V \alpha_2}{-\rho \omega^2 \Delta_1(\omega) [\omega(1 - V^2 b^{-2}) - \omega_0]}$$

$$K_1(\omega) = - \frac{b^2 \beta^2 \left( \frac{\omega^2}{b^2} - 2\beta^2 \right) \alpha_1^2 V x_2}{\omega^2 \Delta_1(\omega) \{ \omega (1 - V^2 \alpha^{-2}) - \omega_0 \}}$$

$$K_2(\omega) = \frac{\beta^2 b^2 R_1(\omega) V x_2}{4\pi \rho \omega^2 \Delta_1(\omega) \{ \omega (1 - V^2 b^{-2}) - \omega_0 \}}$$

Для малых  $r$ , учитывая, что  $J_1(\beta r) \approx \frac{1}{2} \beta r$ , и обозначая  $\text{Re } V' = -rx$ , можно получить значения  $x$  и  $\frac{\partial u'}{\partial z} + \frac{\partial u_1}{\partial z}$  сложением действительной части выражений (3.8), (3.12), причем сравнение с § 1 показывает, что роль  $u_1^{(0)}$ ,  $u_1^{(1)}$  играют  $V'$ ,  $U'$ . Далее, используя значения  $x = x_0 + x_2$ ,  $\frac{\partial u^{(0)}}{\partial z}$  и формулах §§ 1, 2, можно получить решение задачи

о проникании тела в упругую среду при наличии фронта течения, фронта трещин и фронта трещин, за которым следует фронт течения, причем вибрационная сила  $p_0$  действует в верхнем теле во все время с начала проникания. При  $V=0$ , взяв (3.8) для  $z > Vt$ , то есть для значений  $x_1^{(1)}, x_2$ , и сложив с (3.12), с учетом того, что при этом

$$\alpha_1^{(1)} = -\alpha_1^{(2)}, \omega_0 = -\omega, \sqrt{\beta^2 - \frac{\omega^2}{c^2}} = i\alpha_2^{(2)},$$

можно получить решение (1.2), в котором изменен знак  $p_0$ . Следует отметить, что в отсутствие предварительного нагружения среды, учитывая, что вибрации передаются в среду через всю поверхность проникающего тела, можно упростить задачу, не учитывая слагаемых  $u_1^{(0)}$ ,  $u_1^{(1)}$ .

Тогда (1.19) примет вид

$$\tau_{rr} = 2\tau_0 \ln \frac{r}{r_k \xi_0} - \tau_0, \xi_0 = \frac{R}{\tau_0}$$

и на теле  $\tau' = \tau_{rr} = -\tau_0 \ln \frac{R}{r_k} - \tau_0$  постоянно. Уравнение движения, конуса имеет вид  $r_k = \tau_0 (f - z)$ .

$$mf''(t) = -\tau_0 \left( \ln \frac{R}{\tau_0} + 1 \right) - f''(t) \tau_0 (\tau_0 + k_1) + p_0 \cos \omega t$$

где  $p_0$  есть вибрационная сила. Хотя вблизи свободной поверхности требуется уточнение решения [5], влияние этой области на закон движения мало, и его можно не учитывать. Для произвольного  $r_k = r_k / (f(t) - z) = r_k(t)$

$$V = f'(0), f''(t) - V^2 = \frac{2\tau_0}{m} \int_0^t r_k^2(\xi) d\xi + \frac{4\tau_0 k_1}{m} \int_0^t r_k(\xi) (f - \xi) d\xi,$$

откуда при  $f'(t) = 0$  найдется  $f = f_{\max}$ .

ՄԱՐՄԵՆԻ ԹԱՓԱՆՑՈՒՄԸ ՄԻՋԱՎԱՅՐԻ ՄԵՋ  
ՎԻԲՐԱՑԻՎԱՆԵՐԻ ՆԵՐԿԱՅՈՒԹՅԱՄԲ

Ա. մ լի ո լի ու մ

Ենթադրվում է որ թափանցող մարմնի շրջակայքում սեղի ունի միջավայրի քայքայում և միջավայրը հոսում է: Դիտարկված խնդիրներում լուծումը առաձգական տիրույթի համար կարվում է մարմնի շրջակայքում պլաստիկական տիրույթի համար ստացված լուծման հետ: Քերվում են աղյուսակները և գրաֆիկները:

THE PENETRATION OF A BODY INTO A MEDIUM  
UNDER VIBRATION

A. G. BAGDOEV

S u m m a r y

The penetration of a slender body of revolution into the elastic medium under a vibration impulse is considered. The problems are examined. In the first one the initial loading of the medium by the impulse applied to the surface of the medium is studied. In the second one the vibration impulse is applied to the top of the penetrating body. The front, connected with the top of the body and separating the region of elastic deformations from the region of plastic flow near the body is introduced. The effective solution, satisfying the boundary conditions on the body is found. The tables of stresses on the body and the graphs of the resistance force of the medium are given.

ЛИТЕРАТУРА

1. Григорян С. С. Некоторые вопросы галлодинамики тонких тел. Кандидатская диссертация, МГУ, 1956.
2. Сазомонян А. Я. Проникание. Изд. МГУ, 1974.
3. Багдоев А. Г. Проникание узкого конуса в сжимаемую жидкость. Вестник МГУ, 1955.
4. Соскин В. А., Шмойлов А. Ф. Осесимметричная задача о внедрении в упругое пространство тонкой жесткой гладкой сваи конечной длины. ПИММ, 1975, т. 39, вып. 4.
5. Багдоев А. Г. Проникание тонкого тела вращения в упругую среду. Изв. АН Арм. ССР, 1977, т. 30, № 5.
6. Неймарк Ю. И. Теория вибрационного погружения. Инж. сб., 1953, т. 16, стр. 13—48.
7. Нонинский В. Теория упругости, М., «Мир», 1975.
8. Григорян С. С. Некоторые вопросы математической теории деформирования горных пород. ПММ, 1967, т. 31, вып. 4.
9. Кольский Г. Волны напряжения в твердых телах. М., ИЛ, 1955.
10. Ионов В. И., Огибалов П. М. Напряжения в телах при импульсивном нагружении. М., Изд-во ВШ, 1975.

М. В. БЕЛУБЕКЯН, А. Е. ГАСПАРЯН

## РАСПРОСТРАНЕНИЕ ОДНОМЕРНОЙ МАГНИТОУПРУГОЙ ВОЛНЫ В КОНЕЧНО-ПРОВОДЯЩЕЙ СРЕДЕ

В настоящей работе рассматриваются одномерные волновые движения конечно-проводящей неполяризуемой немагнитиваемой упругой изотропной среды в однородном магнитном поле. Для описания распространения волн используются линеаризованные уравнения электродинамики и уравнения динамической теории упругости [1—3].

Решения представлены в виде монохроматических волн и получены дисперсионные соотношения. Зависимость частоты от волнового числа найдена с помощью разложения по малому параметру.

Исследованы изменение скорости, дисперсия и затухание волн в зависимости от величины магнитного поля.

Полученные решения исследуются при помощи метода стационарной фазы.

### § 1. Основные уравнения

При выводе систем уравнений, описывающих движение упругой среды в постоянном однородном магнитном поле, принимаются следующие предположения:

- а) среда является однородным изотропным проводником с постоянной электропроводностью;
- б) токи смещения пренебрегаются;
- в) упругое перемещение среды и электромагнитные возмущения считаются настолько малыми, что при описании магнитоупругих колебаний можно пользоваться линейными уравнениями магнитоупругости и электродинамики.

Для описания движения упругой среды в постоянном однородном магнитном поле с заданным вектором напряженности  $\vec{H}_0$  используются уравнения электродинамики для области, занимаемой телом (внутренняя область) и уравнения динамической теории упругости, которые в абсолютной гауссовой системе единиц запишутся следующим образом [1—3]:

$$\begin{aligned} \operatorname{rot} \vec{E} &= -\frac{1}{c} \frac{\partial \vec{B}}{\partial t}, \quad \operatorname{rot} \vec{H} = \frac{4\pi}{c} \vec{j} \\ \operatorname{div} \vec{D} &= 4\pi \rho_{\text{ext}}, \quad \operatorname{div} \vec{B} = 0 \end{aligned} \quad (1.1)$$

$$G \Delta \vec{u} + (\nu + G) \operatorname{grad} \operatorname{div} \vec{u} + \vec{K} = \rho \frac{\partial^2 \vec{u}}{\partial t^2} \quad (1.2)$$

где  $\rho_e$  — объемная плотность электрического заряда,  $c$  — скорость света в вакууме,  $\rho$ ,  $\lambda$ ,  $G$  — плотность и упругие постоянные Ляме среды, соответственно,  $\vec{K}$  — сила Лоренца, которая возникает от действия вектора плотности электрического тока и вектора магнитной индукции

$$\vec{K} = \frac{1}{c} \vec{j} \times \vec{B} \quad (1.3)$$

Найти решение задачи (1.1) — (1.2) в общем виде трудно, поэтому используем линеаризованные уравнения электродинамики

$$\begin{aligned} \operatorname{rot} \vec{h} &= \frac{4\pi\sigma}{c} \left( \vec{e} + \frac{\nu}{c} \frac{\partial \vec{u}}{\partial t} \times \vec{H}_0 \right) \\ \operatorname{rot} \vec{e} &= -\frac{\nu}{c} \frac{\partial \vec{h}}{\partial t} \end{aligned} \quad (1.4)$$

$$\operatorname{div} \vec{h} = 0$$

$$\operatorname{div} \left( \epsilon \vec{e} + \frac{\epsilon\mu - 1}{c} \frac{\partial \vec{u}}{\partial t} \times \vec{H}_0 \right) = 4\pi\rho_e$$

где  $\mu$  — коэффициент магнитной проницаемости,  $\epsilon$  — диэлектрическая постоянная,  $\sigma = 1/R_1$  — коэффициент электропроводности среды ( $R_1$  — удельное электрическое сопротивление),  $\vec{h}$ ,  $\vec{e}$  — компоненты возбужденного электромагнитного поля.

Последнее уравнение системы (1.4) служит для определения плотности электрического тока  $\rho_e$ , возникающего при распространении магнитоупругой волны.

## § 2. Постановка и решение задачи

Рассмотрим случай, когда упругая одномерная волна распространяется по направлению координаты  $x$ , а вектор напряженности заданного магнитного поля параллелен направлению распространения волны, то есть

$$\vec{H}_0 = [H_{01}, 0, 0] \quad (2.1)$$

Проектируя систему уравнений (1.2) и (1.4) на оси координат, с учетом (2.1) получаем следующие уравнения одномерной задачи:

$$\begin{aligned} c_1^2 \frac{\partial^2 u_1}{\partial x^2} + \frac{\nu}{c_1} H_{01} \left( \epsilon_1 - \frac{\nu}{c} H_{01} \frac{\partial u_1}{\partial t} \right) &= \frac{\partial^2 u_1}{\partial t^2} \\ \frac{\partial h_2}{\partial x} &= \frac{4\pi\sigma}{c} \left( \epsilon_1 - \frac{\nu}{c} H_{01} \frac{\partial u_1}{\partial t} \right) \end{aligned} \quad (2.2)$$

$$\frac{\partial e_1}{\partial x} = -\frac{\mu}{c} \frac{\partial h_2}{\partial t}$$

и

$$\begin{aligned} c_1^2 \frac{\partial^2 u_3}{\partial x^2} - \frac{\alpha \mu}{c^2} H_{01} \left( e_2 + \frac{\mu}{c} H_{01} \frac{\partial u_3}{\partial t} \right) &= \frac{\partial^2 u_3}{\partial t^2} \\ \frac{\partial h_3}{\partial x} &= \frac{4\pi\alpha}{c} \left( e_2 + \frac{\mu}{c} H_{01} \frac{\partial u_3}{\partial t} \right) \\ \frac{\partial e_2}{\partial x} &= -\frac{\mu}{c} \frac{\partial h_3}{\partial t} \end{aligned} \quad (2.3)$$

Для  $u_1$  получим отдельное уравнение

$$c_1^2 \frac{\partial^2 u_1}{\partial x^2} = \frac{\partial^2 u_1}{\partial t^2} \quad (2.4)$$

где  $c_1^2 = (2G + \lambda)/\rho$  — квадрат скорости чисто упругих продольных волн,  $c_2^2 = G/\rho$  — квадрат скорости чисто поперечных волн.

Из (2.4) следует, что магнитное поле не влияет на скорость распространения продольной волны.

Согласно (2.2) и (2.3) задачи определения  $u_2$ ,  $h_1$ ,  $e_1$  и  $u_1$ ,  $h_2$ ,  $e_2$  автономны.

Решение системы уравнений (2.2) будем искать в следующем виде:

$$(u_2, h_2, e_2) = (u_{20}, h_{20}, e_{20}) \exp(i\theta) \quad (2.5)$$

где  $\theta = kx - \omega t$ .

Подставляя (2.5) в (2.2), относительно  $\omega$  получим кубическое уравнение, то есть дисперсионное соотношение

$$\gamma \omega^3 + ik^2 \omega^2 - (\mu\alpha + \gamma c_1^2) k^2 \omega - i c_1^2 k^4 = 0 \quad (2.6)$$

где

$$\gamma = \frac{4\pi\alpha\mu}{c^2}, \quad \alpha = \frac{\alpha\mu}{c^2\varrho} H_{01}^2 \quad (2.7)$$

Аналогичным путем получается дисперсионное уравнение относительно  $\omega$  для системы (2.3), совпадающее с уравнением (2.6). Теперь предположим, что магнитное поле перпендикулярно к направлению распространения волны. Координатные оси  $Oy$  и  $Oz$  можно повернуть так, чтобы ось  $Oy$  была параллельной вектору напряженности заданного магнитного поля

$$\vec{H}_0 = (0, H_{0y}, 0) \quad (2.8)$$

Из системы уравнений (1.2) и (1.4) с учетом (2.8) получаем следующую систему уравнений одномерной задачи:

$$\begin{aligned} c_1^2 \frac{\partial^2 u_1}{\partial x^2} - \frac{\alpha \mu}{c^2} H_{0y} \left( e_1 + \frac{\mu}{c} H_{0y} \frac{\partial u_1}{\partial t} \right) &= \frac{\partial^2 u_1}{\partial t^2} \\ \frac{\partial h_1}{\partial x} &= \frac{4\pi\alpha}{c} \left( e_1 + \frac{\mu}{c} H_{0y} \frac{\partial u_1}{\partial t} \right) \end{aligned} \quad (2.9)$$

$$\frac{\partial e_3}{\partial x} = \frac{\mu}{c} \frac{\partial h_2}{\partial t}$$

Для  $u_i$  ( $i = 2, 3$ ) получим отдельное уравнение

$$c_i^2 \frac{\partial^2 u_i}{\partial x^2} = \frac{\partial^2 u_i}{\partial t^2} \quad (2.10)$$

В этом случае магнитное поле не влияет на скорость распространения поперечной волны.

Представляя решение системы уравнений (2.9) в виде

$$(u_1, h_2, e_3) = (u_{10}, h_{20}, e_{30}) \exp(i\theta) \quad (2.11)$$

аналогично предыдущей задаче, легко получается кубическое уравнение относительно  $\omega$ , которое имеет вид

$$\gamma \omega^3 + ik^2 \omega^2 - (\mu\alpha + \gamma c_i^2) k^2 \omega - ic_i^2 k^4 = 0 \quad (2.12)$$

### § 3. Анализ дисперсионного уравнения (2.6) и (2.12)

Займемся исследованием решений кубических уравнений (2.6) и (2.12). Уравнение (2.6) разделим на  $\gamma k c_i$ , и запишем в следующем виде:

$$\frac{1}{c_i k} \Omega^3 + \gamma_1 \Omega^2 + (c_i^2 + v_A^2) \frac{k}{c_i} \Omega + \gamma_1 c_i^2 k^2 = 0 \quad (3.1)$$

где  $\gamma_1 = k/\gamma c_i$  — безразмерная величина,  $v_A^2 = \mu H_{0z}^2/4\pi\sigma$  — скорость Альфвена,  $\Omega = -i\omega$ .

Для  $\gamma_1 = 0$  (идеальный проводник) имеем

$$\Omega^3 + (c_i^2 + v_A^2) k^2 \Omega = 0 \quad (3.2)$$

откуда вытекает, что скорость распространения поперечной волны равна  $\sqrt{c_i^2 + v_A^2}$  и волна распространяется без затухания. Одномерные магнитоупругие волны на основе модели идеального проводника были исследованы в ряде работ [4].

Пусть  $\gamma_1$  мало и отлично от нуля, тогда решение можно искать в виде разложения по степеням  $\gamma_1$ , то есть

$$\Omega = \Omega_0 + \gamma_1 \Omega_1 + \gamma_1^2 \Omega_2 + \gamma_1^3 \Omega_3 + \dots \quad (3.3)$$

Подставляя (3.3) в (3.1), группируя коэффициенты при одинаковых степенях  $\gamma_1$ , и решая соответствующие уравнения, будем иметь

$$\Omega_0^3 = -\frac{c_i^2}{c_i^2 + v_A^2} k \gamma_1 - \frac{c_i^2 v_A^2}{(c_i^2 + v_A^2)^2} k \gamma_1^2 - \dots \quad (3.4)$$

$$\begin{aligned} \Omega_1^3 = i \sqrt{c_i^2 + v_A^2} k - \frac{c_i v_A^2}{2(c_i^2 + v_A^2)} k \gamma_1 - i \frac{3}{8} k \gamma_1^2 \times \\ \times \frac{c_i^2 v_A^2 \sqrt{c_i^2 + v_A^2} (v_A^2 + 2c_i^2)}{(c_i^2 + v_A^2)^3} \gamma_1^2 + \dots \end{aligned} \quad (3.5)$$

$$\Omega_2^* = -i \sqrt{c_i^2 + v_A^2} k - \frac{c_i v_A^2}{2(c_i^2 + v_A^2)} k \gamma_1 + i \frac{3}{8} k \times \\ \times \frac{c_i^2 v_A^2 \sqrt{c_i^2 + v_A^2} (v_A^2 + 2c_i^2)}{(c_i^2 + v_A^2)^2} \gamma_1^2 + \dots \quad (3.6)$$

где  $\Omega_0^*$ ,  $\Omega_1^*$ ,  $\Omega_2^*$  — решение уравнения (3.1) в виде разложения. Аналогичным путем получим и решение уравнения (2.12).

Рассмотрим волны только в одном направлении, соответствующие знаку плюс.

Из (3.5) в нулевом приближении для фазовой скорости получим следующее значение:

$$c_\phi = \frac{\text{Im } \Omega_1^*}{k} = \sqrt{c_i^2 + v_A^2} \quad (3.7)$$

которое совпадает со скоростью волны, распространяющихся в идеально проводящей среде, причем фазовая и групповая скорости меняются и зависимости от величины магнитного поля. Волна распространяется без затухания. Первое приближение дает тот же результат для величины скорости, но в этом случае возникает и процесс затухания, который зависит от величины внешнего магнитного поля  $|H_0|$  и от волнового числа  $k$ . Декремент затухания волны  $\text{Re } \Omega_1^*$  имеет вид

$$\text{Re } \Omega_1^* = - \frac{v_A^2}{2\gamma_1 (c_i^2 + v_A^2)} k^2 \quad (3.8)$$

Согласно второму приближению получаем для фазовой скорости распространения волны следующее выражение:

$$\frac{\text{Im } \Omega_1^*}{k} = \sqrt{c_i^2 + v_A^2} - \frac{3 v_A^2 \sqrt{c_i^2 + v_A^2} (v_A^2 + 2c_i^2)}{8 \gamma_1^2 (c_i^2 + v_A^2)^2} k^2 \quad (3.9)$$

Легко убедиться, что фазовая и групповая скорости не равны.

Из (3.9) видно, что фазовая скорость зависит от волнового числа  $k$ , поэтому имеет место дисперсия волны, то есть распространяющаяся волна обладает дисперсией. В этом случае также волна затухает и декремент затухания имеет вид (3.8).

Если взять следующее приближение, легко получить, что фазовая и групповая скорости не изменяются, но декремент затухания изменяет свое значение.

Из условия малости параметра  $\gamma_1$  вытекает, что полученные результаты будут справедливы при следующем ограничении на длину волны:

$$\lambda > \frac{2c_i}{\gamma_1} \quad (3.10)$$

Для конкретных проводников будем иметь: для алюминия  $\lambda > 1.4 \cdot 10^{-2}$  см, для меди  $\lambda > 0.85 \cdot 10^{-2}$  см, для латуни  $\lambda > 4.2 \cdot 10^{-2}$  см, для константана  $\lambda > 8.97 \cdot 10^{-2}$  см, для марганца  $\lambda > 29.9 \cdot 10^{-2}$  см и т. д.

Значения модуля упругости, плотности и электропроводности для вычисления по формуле (3.10) взяты из справочника [5]. В случае, когда длина волны не удовлетворяет условию (3.10), используем формулы Кардано для кубического уравнения.

Представляя решение уравнения (2.6) в виде решения Кардано и принимая  $\gamma c_i/k \ll 1$ , получим

$$\Omega_0^* = -3 \frac{k^2}{\gamma} + 2c_i^2 \gamma + \dots \quad (3.11)$$

$$\Omega_1^* = 2c_i k i - c_i^2 \gamma + \dots \quad (3.12)$$

$$\Omega_2^* = -2c_i k i - c_i^2 \gamma + \dots \quad (3.13)$$

Если взять только два приближения в решении (3.12), то получим, что фазовая и групповая скорости равны и постоянны

$$c_{\text{ф}} = c_g = \frac{\text{Im } \Omega_1^*}{k} = \pm c_i$$

это значит, что волны не обладают дисперсией. В этом случае затухание опять не возникает. Если возьмем три приближения, получим, что снова фазовая и групповая скорости равны и постоянны, но здесь уже возникает процесс затухания и декремент затухания равен следующей величине:

$$\text{Re } \Omega_1^* = -c_i^2 \gamma \quad (3.14)$$

и т. д.

Такой анализ можно сделать и для уравнения (2.12).

#### § 4. Анализ решения методом стационарной фазы

Общее решение, описывающее волновое движение, представим в виде суперпозиции простых гармонических волн (2.5) со всевозможными волновыми числами

$$u(x, t) = \int_{-\infty}^{\infty} A(k) \exp[i(kx - \omega t)] dk \quad (4.1)$$

где частота  $\omega$  — известная из дисперсионного соотношения для данной среды функция  $W(k)$ . Принимается, что амплитудная функция  $A(k)$  конечна и дифференцируема на всем интервале интегрирования.

Интеграл (4.1) с учетом (3.6) можно представить в следующем виде:

$$u(x, t) = \int_{-\infty}^{\infty} A(k) \exp \left[ -\frac{\sigma_i^2}{2\gamma (c_i^2 - v_A^2)} k^2 t \right] \exp[iW(k)] dk \quad (4.2)$$

где

$$\begin{aligned} \Psi'(k) &= \frac{x}{t} k - \mathcal{W}'(k) = \\ &= \left( \frac{x}{t} - \sqrt{c_i^2 + v_A^2} \right) k + \frac{3}{8} \frac{v_A^2 |c_i^2 + v_A^2| (v_A^2 + 2c_i^2)}{\tau^2 (c_i^2 + v_A^2)^3} k^3 \end{aligned} \quad (4.3)$$

Рассмотрим интеграл (4.2) для случая, когда  $\Psi'(k) = 0$  при некотором  $k = k_0$ ,  $-\infty < k_0 < +\infty$ . Из (4.3) получим

$$k_0 = \pm \sqrt{\frac{8\tau^2 (c_i^2 + v_A^2)^3 \left( \sqrt{c_i^2 + v_A^2} - \frac{x}{t} \right)}{9v_A^2 (v_A^2 + 2c_i^2) |c_i^2 + v_A^2|}} \quad (4.4)$$

Возьмем значение  $k_0$  со знаком плюс.

Из условия (3.10) с учетом (4.4) получается, что отношение  $c_i/c_e$  должно удовлетворять следующему неравенству ( $c_i$  — групповая скорость):

$$\sqrt{1 + \frac{v_A^2}{c_i^2}} \left[ 1 - \frac{9v_A^2 c_i^2 (v_A^2 + 2c_i^2)}{8(c_i^2 + v_A^2)^3} \right] < \frac{c_i}{c_e} < \sqrt{1 + \frac{v_A^2}{c_i^2}} \quad (4.5)$$

Отсюда можно сделать вывод, что дисперсия волны имеет место при выполнении неравенства (4.5).

Неравенство (4.5) показывает, что интервал изменения групповой скорости, то есть влияние дисперсии, зависит от напряженности магнитного поля.

Наибольший интервал (наибольший эффект дисперсии) получается при  $v_A^2 = (\sqrt{3} - 1)c_i^2$  или  $H_0 = [4\pi(\sqrt{3} - 1)\mu^{-1}G]^{1/2}$ .

С помощью преобразования Фурье и методом стационарной фазы [6], из (4.2) для функции  $u(x, t)$  получается следующее асимптотическое выражение:

$$\begin{aligned} u(x, t) &\sim \left( \frac{2\pi}{|\Psi_0'| t|} \right)^{1/2} \exp \left[ - \frac{4\tau (c_i^2 + v_A^2)^2 \left( \sqrt{c_i^2 + v_A^2} - \frac{x}{t} \right)}{(v_A^2 + 2c_i^2) |c_i^2 + v_A^2|} t \right] \times \\ &\times A_0 \exp \left[ i \left( t\Psi_0 \pm \frac{\pi}{4} \right) \right] \end{aligned} \quad (4.6)$$

где  $A_0 = A(k_0)$

$$\Psi_0 = \frac{2}{3} \left( \frac{x}{t} - \sqrt{c_i^2 + v_A^2} \right) \sqrt{\frac{8\tau^2 (c_i^2 + v_A^2)^3 \left( \sqrt{c_i^2 + v_A^2} - \frac{x}{t} \right)}{9v_A^2 (v_A^2 + 2c_i^2) |c_i^2 + v_A^2|}} \quad (4.7)$$

$$\Psi_0' = \frac{9}{4} \frac{v_A^2 |c_i^2 + v_A^2| (v_A^2 + 2c_i^2)}{(c_i^2 + v_A^2)^3 \tau^2} \sqrt{\frac{8\tau^2 (c_i^2 + v_A^2)^3 \left( \sqrt{c_i^2 + v_A^2} - \frac{x}{t} \right)}{9v_A^2 (v_A^2 + 2c_i^2) |c_i^2 + v_A^2|}} \quad (4.8)$$

Знаки «±» относятся к  $\Psi_0' \geq 0$  соответственно.

Аналогичную формулу можно получить для решения (3.6).

Из решения (4.6) можно сделать вывод, что волна любой начальной формы в конечном счете превращается в квазигармоническую волну, у которой волновое число  $k_0$  и частота  $\omega = W(k)$  зависят от соотношения  $x/t$ . Амплитуда этой волны тоже зависит от  $x/t$  и затухает.

В качестве примера рассмотрим задачу со следующими начальными условиями:

$$u(x, 0) = p_0 \delta(x), \quad u_t(x, 0) = 0$$

где  $p_0$  — некоторая постоянная, а  $\delta(x)$  — дельта-функция Дирака.

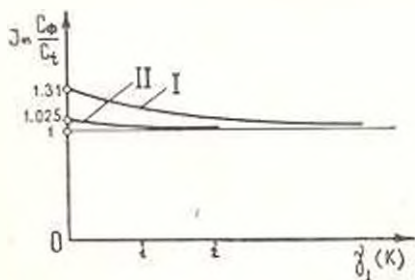
Пологая в (4.1)  $t = 0$ , с учетом (4.9) получим

$$A(k) = -\frac{p_0}{2\pi} = \text{const}$$

и решение (4.6) примет следующий вид:

$$u(x, t) \sim \frac{p_0}{(2\pi|\Psi_0|)^{1/2}} \exp \left[ -\frac{4}{9} \frac{v^2(c_1^2 + v_1^2) \left( \sqrt{c_1^2 + v_1^2} - \frac{x}{t} \right)}{(v_1^2 + 2c_1^2) \sqrt{c_1^2 + v_1^2}} \right] \times \\ \times \exp \left[ i \left( t\Psi_0 \pm \frac{\pi}{4} \right) \right]$$

В заключение приведем график зависимости фазовой скорости ( $c_\phi$ ) от волнового числа согласно уравнению (3.1).



Фиг. 1.

Графики построены для алюминия. Кривая I соответствует значению магнитного поля

$$H_0 = [4\pi(\sqrt{3}-1)\mu^{-1}G]^{1/2}$$

(наибольшее влияние дисперсии), кривая II — значению магнитного поля

$$H_0 = [0,2\pi\mu^{-1}G]^{1/2}$$

Численные результаты показывают, что при  $\gamma_1 > 1$  дисперсия не существенна.

Институт механики  
АН Армянской ССР

Поступила 17 I 1980

Մ. Վ. ՐԱՆԻՐԿՅԱՆ, Ն. Ե. ԳԱՍՊԱՐՅԱՆ

ՄԻԱԶԱՓ ՄԱԳՆԻՏԱԱՌԱՉԳԱԿԱՆ ԱԼՒՄԻՆԱԲԱՐՍԵՈՒՄԸ  
ՎԵՐՋԱՎՈՐ ՀԱՂՈՐԴԻՉ ՄԻՋԱՎԱՅՐՈՒՄ

Ա մ փ ո փ ո մ

Աշխատանքում դիտարկվում է միաչափ ալիքային շարժումը փերջավոր հաղորդիչ, իզոտրոպ, առաձգական միջավայրում մագնիսական դաշտի առ-

կայությունը ղեկարգում: Այլընտրելի տարածումը նկարագրելու համար օգտագործվում են մագնիսառոտագրականության տեսության դժայնագրված հավասարումները: Ատաղված են դիսպերսիոն առնչությունները Հաճախականության կախումը ալիքային թվից ստացվում է ըստ փոքր պարամետրի վերլուծության միջոցով:

Ուսումնասիրվում է ալիքների տարածման արագության, դիսպերսիայի և մարման փոփոխումը կախված մագնիսական դաշտի մեծությունից:

Կոնկրետ նյութի համար կառուցված է գրաֆիկ, որը ցույց է տալիս ֆուզային արագության փոփոխումը կախված ալիքային թվից:

## THE PROPAGATION OF ONE-DIMENSIONAL MAGNETOELASTIC WAVE IN A FINITE CONDUCTING MEDIUM

M. V. BELUBEKIAN, A. E. GASPARIAN

### S u m m a r y

In the paper one-dimensional wave motion of a finite conducting elastic isotropic medium in a magnetic field is considered. To describe the wave propagation, linear equations of the theory of magnetoelasticity are used.

The dispersion relations are obtained. The dependence of the frequency on the wave number is found by the small parameter expansion. The variation in velocity, dispersion and damping of propagation of waves depending on magnitude on the magnetic field is investigated.

The found solutions are studied by the stationary phase method.

The graph of the dependence of phase velocity on the wave number is presented for the particular material.

### ЛИТЕРАТУРА

1. Ландау А. Д., Лифшиц Е. М. «Электродинамика сплошных сред». М., Гостехиздат, 1957.
2. Paria G. Magneto-Elasticity and Magneto-Thermo-Elasticity. *Adv. Appl. Mech.* 1967, 10, Fasc. 1. Academic Press.
3. Аубарцумян С. А., Багдасарян Г. Е., Белубекян М. В. Магнитоупругость тонких оболочек и пластин. М., «Наука», 1977.
4. Bazer J., Karul F. Simple wave motion in magnetoelasticity. *Geophys. J. Roy. Astron. Soc.* 1971, 25, № 1-3, 127-156.
5. Таблица физических величин. Справочник. Под ред. академика И. К. Кикоина. М., Атомиздат, 1976.
6. Неллинейные волны. Под ред. С. Лейбовича и А. Сиббаса. М., Изд. «Мир», 1977.

Г. Е. БАГДАСАРЯН, П. А. МКРТЧЯН

## УСТОЙЧИВОСТЬ СВЕРХПРОВОДЯЩЕЙ ЦИЛИНДРИЧЕСКОЙ ОБОЛОЧКИ В МАГНИТНОМ ПОЛЕ

Задачи устойчивости сверхпроводящих токнесущих цилиндрических оболочек рассмотрены в работах [1—3].

В данной работе выведены уравнения возмущенного движения сверхпроводящей цилиндрической оболочки в стационарном неоднородном магнитном поле. На основе этих уравнений исследуется поведение оболочки в начальном однородном магнитном поле, вектор напряженности которого перпендикулярен к оси цилиндра. Установлена возможность потери устойчивости невозмущенного состояния. Получена формула для определения критического значения напряженности внешнего магнитного поля.

1. Пусть изотропная замкнутая цилиндрическая оболочка постоянной толщины  $2l$  и радиуса серединой поверхности  $R$ , изготовленная из сверхпроводящего материала, находится в начальном магнитном поле с заданным вектором напряженности  $\vec{H}_0$ . Упругие свойства материала оболочки характеризуются модулем упругости  $E$ , коэффициентом Пуассона  $\nu$  и плотностью  $\rho$ . Электромагнитные свойства среды, окружающей оболочку, эквивалентны свойствам вакуума. Влияние токов смещения на характеристики устойчивости оболочки пренебрегается.

Оболочка отнесена к триортогональной системе координат  $(\alpha, \beta, \gamma)$  так, что координатные линии  $\alpha$  и  $\beta$  совпадают с линиями кривизны средней поверхности, откладываемые соответственно вдоль образующей и по дуге.

В отношении тонкой оболочки считается справедливым гипотеза недеформируемых нормалей.

Известно [4], что при помещении сверхпроводящего тела в магнитное поле на тонком приповерхностном слое появляются экранирующие токи, препятствующие проникновению магнитного поля внутрь тела. Вытеснение магнитного поля приводит к изменению напряженности магнитного поля в области вне тела. Это изменение является результатом наложения на начальное поле  $\vec{H}_0$  магнитного поля  $\vec{H}^e$ , создаваемого экранирующими токами. Поэтому невозмущенное магнитное поле  $\vec{H} = \vec{H}_0 + \vec{H}^e$  определяется из решения следующей задачи магнитостатики во внешней области [5]:

$$\text{rot } \vec{H}^e = 0, \text{ div } \vec{H}^e = 0 \quad (1.1)$$

$$\vec{n}_0(\vec{H}_0 \pm \vec{H}^0) = 0 \quad \text{при } (z, \beta, \gamma) \in S \quad (1.2)$$

$$\vec{H}^0 = 0 \quad \text{при } |r| \rightarrow \infty \quad (1.3)$$

где  $\vec{n}_0$  — единичный вектор внешней нормали к недеформированной поверхности  $S$  тела,  $r$  — радиус-вектор рассматриваемой точки.

Вследствие того, что магнитное поле не проникает в область, занимаемую оболочкой, на поверхности оболочки компоненты тензора напряжений Максвелла претерпевают разрыв. Этим разрывом обусловлено появление магнитного давления  $\vec{P}_0$ , определяемого формулой

$$\vec{P}_0 = \vec{n}_0 T^0 \quad (1.4)$$

где  $T^0$  — тензор напряжений Максвелла

$$T_{ik} = \frac{1}{4\pi} \left( H_i H_k - \frac{\delta_{ik}}{2} H^2 \right) \quad (1.5)$$

$\delta_{ik}$  — символ Кронекера.

В силу (1.2) из (1.4) и (1.5) для поверхностной нагрузки получается выражение [5]

$$\vec{p}_0 = -\frac{H^2}{8\pi} \vec{n}_0 \quad (1.6)$$

Под действием нагрузки  $\vec{p}_0$  в оболочке устанавливается начальное невозмущенное состояние, характеризующееся вектором перемещения  $\vec{u}_0$  и тензором упругих напряжений  $\sigma$ . Исходное состояние оболочки, как обычно, определяется из линейных уравнений теории упругости при поверхностных условиях, написанных без учета деформации поверхностей, ограничивающих оболочку. Тогда характеристики невозмущенного состояния будут определяться из следующих уравнений равновесия и граничных условий на поверхности оболочки:

$$\text{div } \sigma^0 = 0 \quad (1.7)$$

$$\vec{n}_0 \cdot \sigma^0 = \vec{p}_0 \quad \text{при } (z, \beta, \gamma) \in S \quad (1.8)$$

Характеристики возмущенного движения  $(\vec{u}_0 + \vec{u}, \sigma^0 + \sigma, \vec{p}_0 + \vec{p}, \vec{H} + \vec{h})$  должны удовлетворять нелинейным уравнениям и краевым условиям на деформированной поверхности оболочки. Принимая возмущения малыми, эти уравнения и граничные условия аналогично работам [6—8] линеаризуются. В результате получаются следующие линейные уравнения возмущенного движения:

в области, занимаемой оболочкой

$$\operatorname{div}(\dot{\vec{j}} + \dot{\alpha}^0 \vec{\nabla} u) - \rho \frac{\partial^2 u}{\partial t^2} = 0 \quad (1.9)$$

в области вне тела оболочки

$$\operatorname{rot} \vec{h} = 0, \operatorname{div} \vec{h} = 0 \quad (1.10)$$

Решения уравнений (1.9) и (1.10) связаны следующими линейризованными условиями на поверхности  $S$ :

$$\dot{\vec{j}} \cdot \vec{n}_0 = \rho \quad (1.11)$$

$$\vec{n}_0 (\vec{h} + H \nabla u) = 0 \quad (1.12)$$

Здесь

$$\dot{\vec{j}} = \frac{E}{2(1-\nu)} \left[ \frac{2\nu}{1-2\nu} (\operatorname{div} \vec{u}) \vec{E} + \nabla u + (\nabla u)^* \right] \quad (1.13)$$

$$\vec{p} = \vec{T} \cdot \vec{n}_0, T_{ik} = \frac{1}{4\pi} (H_k h_i + h_k H_i) - \frac{h_{ik}}{4\pi} \vec{h} \cdot \vec{H} \quad (1.14)$$

где  $\vec{E}$  — единичный тензор,  $\nabla$  — набла-оператор Гамильтона,  $(\nabla u)^*$  — транспонированный тензор  $\nabla u$ ,  $\vec{T}$  — тензор напряжения Максвелла возмущенного состояния.

Отметим, что граничное условие (1.12) является следствием условия непроникновения магнитного поля в толщу оболочки.

2. Согласно гипотезам Кирхгофа—Лява для оболочки имеем следующие известные соотношения:

$$u_1 = u - \gamma \frac{\partial w}{\partial z}, u_2 = \left(1 + \frac{\gamma}{R}\right) v - \gamma \frac{\partial w}{\partial \beta}, u_3 = w(z, \beta, t) \quad (2.1)$$

где  $u(z, \beta, t)$ ,  $v(z, \beta, t)$ ,  $w(z, \beta, t)$  — искомые перемещения срединной поверхности оболочки.

В силу (2.1) поверхностное условие (1.12) принимает вид

$$h_i^+ = H_i^+ \frac{\partial w}{\partial z} + H_j^+ \frac{\partial w}{\partial \beta} \quad (2.2)$$

где индексами  $+$  и  $-$  отмечены значения соответствующих величин на поверхностях оболочки  $\gamma = h$  и  $\gamma = -h$ .

Подставляя (1.13), (2.1) в (1.9) и усредняя полученные при этом уравнения по толщине оболочки, с учетом известных допущений относительно углов поворота [6] и условий (2.2) получим следующую систему дифференциальных уравнений устойчивости оболочки:

$$\frac{\partial^2 u}{\partial z^2} + \frac{1-\nu}{2} \frac{\partial^2 u}{\partial \beta^2} + \frac{1+\nu}{2} \frac{\partial^2 v}{\partial z \partial \beta} + \frac{\nu}{R} \frac{\partial w}{\partial z} - \frac{\rho(1-\nu^2)}{E} \frac{\partial^2 u}{\partial t^2} =$$

$$\begin{aligned}
& -\frac{1-\nu^2}{2Eh} \left\{ \frac{1}{R} \frac{\partial w}{\partial \alpha} T_2^0 + \frac{\partial^2 w}{\partial \alpha^2} N_1^0 + \frac{\partial^2 w}{\partial \alpha \partial \beta} N_2^0 - \frac{1}{4\pi} \left[ (H_a^+)^2 - (H_a^-)^2 \right] \frac{\partial w}{\partial \alpha} - \right. \\
& \quad \left. - \frac{1}{4\pi} (H_a^+ H_b^+ - H_a^- H_b^-) \frac{\partial w}{\partial \beta} \right\} = 0 \\
& \frac{\partial^2 v}{\partial \beta^2} + \frac{1-\nu}{2} \frac{\partial^2 v}{\partial \alpha^2} + \frac{1+\nu}{2} \frac{\partial^2 u}{\partial \alpha \partial \beta} + \frac{1}{R} \frac{\partial w}{\partial \beta} - \frac{\rho(1-\nu^2)}{E} \frac{\partial^2 v}{\partial t^2} - \\
& - \frac{h}{3R} \frac{\partial}{\partial \beta} \left( \frac{\partial^2 w}{\partial \alpha^2} + \frac{\partial^2 w}{\partial \beta^2} + \frac{w}{R^2} \right) + \frac{1-\nu^2}{2Eh} \left[ \frac{1}{R} \frac{\partial w}{\partial \alpha} S^0 - \frac{\partial^2 w}{\partial \alpha \partial \beta} N_1^0 - \right. \\
& - \left( \frac{\partial^2 w}{\partial \beta^2} + \frac{w}{R^2} \right) N_2^0 + \frac{1}{4\pi} \left[ (H_b^+)^2 - (H_b^-)^2 \right] \frac{\partial w}{\partial \beta} + \frac{1}{4\pi} (H_a^+ H_b^+ - \\
& \quad \left. - H_a^- H_b^-) \frac{\partial w}{\partial \alpha} \right] = 0 \tag{2.3}
\end{aligned}$$

$$\begin{aligned}
& D \left[ \Delta^2 w + \frac{\nu}{R^2} \frac{\partial^2 w}{\partial \alpha^2} + \frac{1}{R^2} \frac{\partial^2 w}{\partial \beta^2} + \frac{3}{Rh^2} \left( \frac{\partial v}{\partial \beta} + \nu \frac{\partial u}{\partial \alpha} + \frac{w}{R} \right) \right] + \\
& + 2\rho h \frac{\partial^2 w}{\partial t^2} - \frac{\partial^2 w}{\partial \alpha^2} T_1^0 - 2 \frac{\partial^2 w}{\partial \alpha \partial \beta} S^0 + \left( \frac{\partial^2 w}{\partial \beta^2} + \frac{w}{R^2} \right) T_2^0 + \\
& + \frac{1}{4\pi} (H_a^+ h_a^+ - H_a^- h_a^- + H_b^+ h_b^+ - H_b^- h_b^-) + \frac{h}{4\pi} \frac{\partial}{\partial \alpha} \left\{ \left[ (H_a^+)^2 - (H_a^-)^2 \right] \frac{\partial w}{\partial \alpha} + \right. \\
& + (H_a^+ H_b^+ - H_a^- H_b^-) \frac{\partial w}{\partial \beta} \left. \right\} - \frac{h}{4\pi} \frac{\partial}{\partial \beta} \left\{ (H_a^+ H_b^+ - H_a^- H_b^-) \frac{\partial w}{\partial \alpha} + \right. \\
& \quad \left. + \left[ (H_b^+)^2 - (H_b^-)^2 \right] \frac{\partial w}{\partial \beta} \right\} = 0
\end{aligned}$$

В уравнениях (2.3)  $T_1^0$ ,  $T_2^0$ ,  $S^0$ ,  $N_1^0$ ,  $N_2^0$  — усилия, характеризующие начальное невозмущенное состояние оболочки. Указанные параметры невозмущенного состояния определяем, решая задачу (1.7) — (1.8). Отметим также, что начальное невозмущенное состояние оболочки в общем случае является моментным.

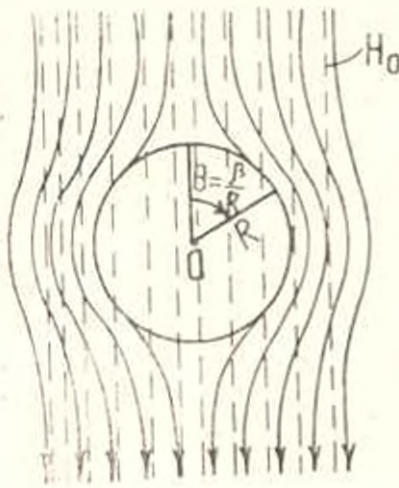
Рассматривая систему уравнений (2.3), замечаем, что она не замкнута. В нее входят неизвестные граничные значения тангенциальных составляющих индуцированного магнитного поля  $h_a^+$ ,  $h_b^+$  на поверхностях оболочки. Их определяем, решая уравнения (1.10) при условии (1.12) и условии затухания возмущений на бесконечности.

3. Рассмотрим задачу устойчивости сверхпроводящей цилиндрической оболочки бесконечной длины в однородном магнитном поле, вектор напряженности которого перпендикулярен к оси цилиндра (фиг. 1).

$$\vec{H}_0 = H_0 \left( \sin \frac{\beta}{R} \vec{e}_3 - \cos \frac{\beta}{R} \vec{e}_r \right), \quad H_0 = \text{const} \tag{3.1}$$

где  $\vec{e}_3$  и  $\vec{e}_r$  — единичные векторы по направлениям соответствующих координатных линий.

Добавочное магнитное поле  $\vec{H}^*$ , обусловленное экранирующими токами, определяется из решения задачи (1.1)—(1.3) и имеет вид



Фиг. 1.

$$\vec{H}^* = H_0 \left( \frac{R+h}{R+\gamma} \right)^2 \left( \sin \frac{\beta}{R} \cdot \vec{e}_\beta + \cos \frac{\beta}{R} \cdot \vec{e}_1 \right) \quad (\gamma \geq h) \quad (3.2)$$

Невозмущенное магнитное поле во внутренней области ( $\gamma < h$ ) равно нулю, а во внешней области ( $\gamma > h$ ) является результатом наложения полей (3.1) и (3.2). Следовательно,

$$\vec{H} = \begin{cases} 0 & \text{при } \gamma < h \\ H_0 \left[ 1 + \left( \frac{R+h}{R+\gamma} \right)^2 \right] \sin \frac{\beta}{R} \times \\ \times \vec{e}_\beta - H_0 \left[ 1 - \left( \frac{R+h}{R+\gamma} \right)^2 \right] \times \\ \times \cos \frac{\beta}{R} \cdot \vec{e}_1 & \text{при } \gamma \geq h \end{cases} \quad (3.3)$$

Из (1.6), согласно (3.3), замечаем, что поверхностная нагрузка  $p_0$  не изменяется вдоль образующих цилиндра. Поэтому из усилий невозмущенного состояния отличными от нуля являются только  $N_2^0$  и  $T_{12}^0$ . Осредняя по толщине оболочки уравнения (1.7), с учетом (1.6), (1.8), (3.3) для определения указанных неизвестных усилий получим следующие уравнения:

$$\frac{dT_{12}^0}{d\beta} + \frac{N_2^0}{R} = 0, \quad \frac{dN_2^0}{d\beta} - \frac{T_{12}^0}{R} = \frac{H_0^2}{2\pi} \sin^2 \frac{\beta}{R} \quad (3.4)$$

Решая уравнения (3.4), найдем

$$T_{12}^0 = -\frac{RH_0^2}{12\pi} \left( 3 - \cos \frac{2\beta}{R} \right), \quad N_2^0 = \frac{RH_0^2}{6\pi} \sin \frac{2\beta}{R} \quad (3.5)$$

В дальнейшем будем рассматривать частный случай, когда возмущения не зависят от координаты  $\alpha$  (образующие цилиндра остаются прямолинейными). Тогда введением потенциальной функции  $\Phi$  посредством

$$\vec{h} = \text{grad } \Phi \quad (3.6)$$

задача определения возмущенного магнитного поля  $\vec{h}$  во внешней области, согласно (1.10), (2.2), (2.3) приводится к решению следующей внешней задачи Неймана для круга ( $\gamma > h$ ):

$$\begin{cases} \Delta_1 \Phi = \frac{1}{R+\gamma} \frac{\partial}{\partial \gamma} \left[ (R+\gamma) \frac{\partial \Phi}{\partial \gamma} \right] - \frac{R^2}{(R+\gamma)^2} \frac{\partial^2 \Phi}{\partial \beta^2} = 0 \\ \frac{\partial \Phi}{\partial \gamma} = 2H_0 \sin \frac{\beta}{R} \frac{\partial w}{\partial \beta} \quad \text{при } \gamma = h \end{cases} \quad (3.7)$$

Решение задачи (3.7) представляется посредством интеграла Дирихле [9]

$$\Phi = \frac{(R+h)H_0}{\pi R} \int_{-\pi}^{\pi} \ln \left| 1 + \left( \frac{R+h}{R+\gamma} \right)^2 - 2 \frac{R+h}{R+\gamma} \cos \left( \frac{\beta}{R} - \xi \right) \right| \sin \xi \frac{\partial w}{\partial \xi} d\xi \quad (3.8)$$

Из (3.6) в силу (3.8) для  $h_{\beta}^+$  найдем

$$h_{\beta}^+ = \frac{H_0}{\pi R} \int_{-\pi}^{\pi} \frac{\sin \left( \frac{\beta}{R} - \xi \right) \sin \xi}{1 - \cos \left( \frac{\beta}{R} - \xi \right)} \frac{\partial w}{\partial \xi} d\xi \quad (3.9)$$

Подстановкой (3.3), (3.5) и (3.9) в (2.3) рассматриваемая задача устойчивости сводится к исследованию следующей системы интегро-дифференциальных уравнений с переменными коэффициентами:

$$\frac{\partial^2 v}{\partial \beta^2} + \frac{1}{R} \frac{\partial w}{\partial \beta} - \frac{h^2}{3R} \frac{\partial}{\partial \beta} \left( \frac{\partial^2 w}{\partial \beta^2} + \frac{w}{R^2} \right) + \frac{(1-\nu^2)RH_0^2}{12\pi Eh} \left| \frac{6}{R} \sin^2 \frac{\beta}{R} \frac{\partial w}{\partial \beta} - \left( \frac{\partial^2 w}{\partial \beta^2} + \frac{w}{R^2} \right) \sin \frac{2\beta}{R} \right| = 0 \quad (3.10)$$

$$D \left| \frac{\partial^4 w}{\partial \beta^4} + \frac{1}{R^2} \frac{\partial^2 w}{\partial \beta^2} + \frac{3}{Rh^2} \left( \frac{\partial v}{\partial \beta} + \frac{w}{R} \right) \right| + 2\gamma h \frac{\partial^2 w}{\partial t^2} + \frac{RH_0^2}{4\pi} \left| \left( 1 + \frac{1}{3} \cos \frac{2\beta}{R} \right) \left( \frac{\partial^2 w}{\partial \beta^2} + \frac{w}{R^2} \right) + \frac{4h}{R} \frac{\partial}{\partial \beta} \left( \sin^2 \frac{\beta}{R} \frac{\partial w}{\partial \beta} \right) + \frac{2}{-R^2} \sin \frac{\beta}{R} \int_{-\pi}^{\pi} \frac{\sin \left( \frac{\beta}{R} - \xi \right) \sin \xi}{1 - \cos \left( \frac{\beta}{R} - \xi \right)} \frac{\partial w}{\partial \xi} d\xi \right| = 0$$

Решение системы уравнений устойчивости (3.10) будем искать в виде

$$v = e^{i\omega t} \sum_{n=2}^{\infty} v_n \sin \frac{n\beta}{R} \quad (3.11)$$

$$w = e^{i\omega t} \sum_{n=2}^{\infty} w_n \cos \frac{n\beta}{R}$$

где  $\omega$  — частота колебаний оболочки,  $v_n$  и  $w_n$  — неизвестные коэффициенты.

Представления (3.11) удовлетворяют условиям замкнутости оболочки по координате  $\beta$ .

Подставляя (3.11) в (3.10) и используя обычный процесс ортогонализации, после некоторых преобразований приходим к следующей бесконечной системе алгебраических уравнений:

$$k v_k + \omega_k + \frac{h^2}{3R^2} (k^2 - 1) \omega_k = \frac{(1 - v^2) RH_0^2}{24\pi E h} \sum_{n=2}^{\infty} a_{nk} \omega_n$$

$$k v_k + \omega_k + \frac{h^2}{3R^2} [k^2 (k^2 - 1) - \bar{\omega}^2] \omega_k = \frac{(1 - v^2) RH_0^2}{8\pi E h} \sum_{n=2}^{\infty} b_{nk} \omega_n \quad (3.12)$$

$$(k = 2, 3, 4, \dots)$$

где

$$a_{nk} = \frac{1}{k} [(n^2 - 1 + 3n) \delta_{n, k-2} - (n^2 - 1 - 3n) \delta_{n, k+2} - 6n \delta_{nk}]$$

$$b_{nk} = (n^2 - 1 - 2n) \delta_{nk} + \left( n + \frac{n^2 - 1}{6} \right) (\delta_{n, k-2} + \delta_{n, k+2})$$

$$\bar{\omega} = \omega R^2 \left| \frac{2\varrho h}{D} \right|$$

При получении (3.12) было установлено и учтено, что

$$\int_{-\pi}^{\pi} \frac{\sin(\theta - \xi) \sin \frac{\theta}{2} \sin n\xi}{1 - \cos(\theta - \xi)} d\xi = -2\pi \sin \theta \cos n\theta \quad (3.13)$$

Исключая  $v_k$  из системы уравнений (3.12), получим следующую бесконечную систему относительно  $\omega_k$ :

$$(\omega_k^2 - \bar{\omega}^2) \omega_k - \bar{H}^2 \sum_{n=2}^{\infty} \bar{b}_{kn} \omega_n = 0 \quad (3.14)$$

Здесь

$$\omega_k = k^2 - 1, \quad \bar{H}^2 = \frac{3(1 - v^2) R^3 H_0^2}{8\pi E h^2}$$

$$\bar{b}_{kn} = (k - 1)^2 \delta_{kn} + \left[ \frac{n^2 - 1}{6} \left( 1 + \frac{2}{k} \right) + n \left( 1 - \frac{1}{k} \right) \right] \delta_{n, k+2} + \quad (3.15)$$

$$+ \left[ \frac{n^2 - 1}{6} \left( 1 - \frac{2}{k} \right) + n \left( 1 - \frac{1}{k} \right) \right] \delta_{n, k-2}$$

Невозмущенное состояние оболочки устойчиво, если все корни уравнения

$$(\omega_k^2 - \bar{\omega}^2) \delta_{kn} - \bar{H}^2 \bar{b}_{kn} = 0 \quad (3.16)$$

лежат в верхней полуплоскости.

Рассмотрим сходимость бесконечного определителя, входящего в уравнение (3.16). С этой целью, следуя [7], представим указанный определитель в виде

$$\Delta = |\delta_{kn} + c_{kn}| \quad (3.17)$$

где

$$c_{kn} = - \frac{\bar{\omega}^2}{\omega_k \omega_n} \delta_{kn} - \frac{\bar{H}^2}{\omega_k \omega_n} \bar{b}_{kn} \quad (3.18)$$

Бесконечный определитель (3.17) сходится, если сходится двойной ряд [7, 10]

$$\sum_{k=2}^{\infty} \sum_{n=2}^{\infty} |c_{kn}| \quad (3.19)$$

В силу (3.18) легко получить

$$\begin{aligned} \sum_{k=2}^{\infty} \sum_{n=2}^{\infty} |c_{kn}| &= \bar{\omega}^2 \sum_{k=2}^{\infty} \frac{1}{(k^2-1)^2} + \bar{H}^2 \sum_{k=2}^{\infty} \frac{1}{(k+1)^2} + \\ &+ \frac{\bar{H}^2}{6} \sum_{k=2}^{\infty} \frac{k(k+5)}{(k-1)(k+2)(k^2+4k+3)} + \frac{\bar{H}^2}{6} \sum_{k=2}^{\infty} \frac{(k+2)(k^2+10k-3)}{k(k^2-1)(k^2+4k+3)} \end{aligned} \quad (3.20)$$

откуда следует, что определитель (3.17) относится к классу сходящихся (нормальных) определителей.

4. Рассматривая (3.15), легко заметить, что бесконечная система алгебраических уравнений (3.14) распадается на две независимые бесконечные системы. Одна из них содержит  $\bar{\omega}_k$  только с четными индексами, а вторая — с нечетными индексами. Определитель первой системы в силу (3.16) имеет вид

$$\begin{vmatrix} \Omega_{22} - \bar{\omega}^2 & d_{24} & 0 & 0 & 0 & 0 & \cdot & \cdot & \cdot \\ d_{42} & \Omega_{44} - \bar{\omega}^2 & d_{46} & 0 & 0 & 0 & \cdot & \cdot & \cdot \\ 0 & d_{64} & \Omega_{66} - \bar{\omega}^2 & d_{68} & 0 & 0 & \cdot & \cdot & \cdot \\ 0 & 0 & d_{86} & \Omega_{88} - \bar{\omega}^2 & d_{810} & 0 & \cdot & \cdot & \cdot \\ 0 & 0 & 0 & d_{108} & \Omega_{1010} - \bar{\omega}^2 & d_{1012} & \cdot & \cdot & \cdot \\ 0 & 0 & 0 & 0 & d_{1210} & \Omega_{1212} - \bar{\omega}^2 & d_{1214} & \cdot & \cdot \\ \cdot & \cdot \\ \cdot & \cdot \\ \cdot & \cdot \end{vmatrix} \quad (4.1)$$

где

$$\Omega_{kn} = \bar{\omega}_k^2 \bar{a}_{kn} - d_{kn}, \quad d_{kn} = \bar{H}^2 \bar{b}_{kn} \quad (4.2)$$

Определитель второй системы получается из (4.1), если ко всем индексам элементов определителя (4.1) прибавить единицу. Условием существования нетривиального решения является равенство нулю нормального определителя (4.1). Из указанного условия получается уравнение для определения частоты  $\bar{\omega}$ . Это уравнение в первом приближении ( $n=2$ ) имеет вид

$$\bar{\omega}^2 - \Omega_{22} = 0 \quad (4.3)$$

Для второго и третьего приближений имеем соответственно

$$\bar{\omega}^4 - (\Omega_{22} + \Omega_{44}) \bar{\omega}^2 + \Omega_{22} \Omega_{44} - d_{24} d_{42} = 0 \quad (4.4)$$

$$\bar{\omega}^6 - (\Omega_{22} + \Omega_{44} + \Omega_{66}) \bar{\omega}^4 + (\Omega_{22}\Omega_{44} + \Omega_{22}\Omega_{66} + \Omega_{44}\Omega_{66} -$$

$$-d_{43}d_{44} - d_{24}d_{13}) \bar{\omega}^2 + \Omega_{22}d_{43}d_{44} + \Omega_{66}d_{43}d_{63} - \Omega_{22}\Omega_{34}\Omega_{66} = 0$$

Используя условие статической устойчивости  $\omega = 0$ , из (4.3)–(4.5) получим следующие уравнения для определения критического значения напряженности магнитного поля:

в случае первого приближения

$$\bar{b}_{22} \bar{H}^2 - \omega_1^2 = 0 \quad (4.6)$$

в случае второго приближения

$$(\bar{b}_{21}\bar{b}_{42} - \bar{b}_{22}\bar{b}_{44}) \bar{H}^3 + (\bar{b}_{22}\omega_4^2 + \bar{b}_{44}\omega_2^2) \bar{H} - \omega_2^2\omega_1^2 = 0 \quad (4.7)$$

в случае третьего приближения

$$\begin{aligned} & (\bar{b}_{22}\bar{b}_{44}\bar{b}_{66} - \bar{b}_{21}\bar{b}_{42}\bar{b}_{66} - \bar{b}_{22}\bar{b}_{44}\bar{b}_{66}) \bar{H}^3 + [(\bar{b}_{43}\bar{b}_{64} - \\ & - \bar{b}_{44}\bar{b}_{66}) \omega_2^2 - \bar{b}_{22}\bar{b}_{66} \omega_4^2 + (\bar{b}_{21}\bar{b}_{42} - \bar{b}_{22}\bar{b}_{44}) \omega_6^2] \bar{H}^2 + \\ & + (\bar{b}_{66} \omega_2^2 \omega_4^2 + \bar{b}_{44} \omega_2^2 \omega_6^2 - \bar{b}_{22} \omega_4^2 \omega_6^2) \bar{H} - \omega_2^2 \omega_1^2 \omega_6^2 = 0 \end{aligned} \quad (4.8)$$

Из условий (4.6)–(4.8) в силу (3.15) найдены следующие приближения критического значения напряженности магнитного поля, при котором сверхпроводящая оболочка теряет устойчивость:

$$\bar{H}_c = \begin{cases} 3 & \text{для первого приближения} \\ 2.4916 & \text{для второго приближения} \\ 2.4878 & \text{для третьего приближения} \end{cases} \quad (4.9)$$

Отметим, что найдено также четвертое приближение  $\bar{H}_c$ , которое с приведенной здесь точностью совпало с третьим приближением.

Аналогичное исследование проведено относительно второй бесконечной системы алгебраических уравнений с нечетными индексами. В результате получены следующие значения соответствующих приближений величины  $\bar{H}_c$ :

$$\bar{H}_c = \begin{cases} 4 & \text{для первого приближения} \\ 3.5503 & \text{для второго приближения} \\ 3.5424 & \text{для третьего приближения} \\ 3.5424 & \text{для четвертого приближения} \end{cases} \quad (4.10)$$

Сравнивая (4.9) и (4.10), замечаем, что последовательные приближения достаточно быстро сходятся и в качестве критического значения  $\bar{H}$  следует брать 2.4878. Тогда на основе (3.15) для критического значения внешнего магнитного поля получим формулу

$$H_0^* = \frac{4.98 h}{R} \sqrt{\frac{2\pi E h}{3(1-\nu^2)R}} \quad (4.11)$$

Известно [4, 5], что для каждого сверхпроводника существует критическое магнитное поле  $H_c$ , превышение которого приводит к разруше-

нию сверхпроводящего свойства материала. Поэтому напряженность магнитного поля, определяемая формулой (4.11), должна быть меньше, чем  $H_1$ . Следовательно, в зависимости от того напряженность внешнего магнитного поля удовлетворяет условию  $H_0 < H_0' < H_1$  или условию  $H_0' < H_0 < H_1$  сверхпроводящая оболочка будет устойчивой или неустойчивой.

Условие  $H_0' < H_1$  для каждого конкретного сверхпроводящего материала налагает ограничение на относительную толщину оболочки и определяет класс оболочек, для которых имеет смысл исследование вопроса устойчивости в магнитном поле. Оболочки, которые могут терять устойчивость в сверхпроводящем состоянии, должны иметь толщину, не превышающую  $h^*$ , определяемую из условия  $H_0' < H_1$  по формуле

$$\frac{2h^*}{R} = \left[ \left( \frac{H_k}{2.49} \right)^2 \frac{3(1-\nu^2)}{\pi E} \right]^{1/2} \quad (4.12)$$

На основании формулы (4.12) в табл. 1 приведены значения  $2h^*/R$  для некоторых сверхпроводников. При расчете для материалов, у которых коэффициент Пуассона неизвестен, приближенно принято  $\nu = 0.3$ . Для сплавов  $Nb_3Sn$  и  $V_3Ga$  в качестве модуля Юнга принято  $E = 15.6 \cdot 10^{11}$  дин/см<sup>2</sup> и  $E = 14.8 \cdot 10^{11}$  дин/см<sup>2</sup> соответственно.

Таблица 1

Материал оболочки	$E, 10^{11} \frac{\text{дин}}{\text{см}^2}$	$\nu$	$\frac{2h^*}{R}, 10^{-3}$
Свинец (Pb)	1.6	0.44	8
Никобий (Nb)	15.6	—	7
Ванадий (V)	14.8	—	6
Титан (Ti)	18.6	—	3.8
Олово (Sn)	5.3	0.33	2.85
Алюминий (Al)	7	0.34	1.25
$Nb_3Sn$	—	—	185
$V_3Ga$	—	—	165

Критические значения напряженности магнитного поля  $H_0^*$  для оболочек, изготовленных из этих материалов, при различных значениях  $2h^*/R$  приведены в табл. 2. Здесь черточки означают, что разрушение сверхпроводимости материала оболочки для соответствующих толщин наступает раньше, чем потеря статической устойчивости. Из этой таблицы видно, что для достаточно тонких оболочек существенным является потеря устойчивости под действием магнитного давления.

В заключение отметим, что если оболочка изготовлена из обычного проводящего материала и покрыта тонким слоем сверхпроводящего сплава (напр.,  $Nb_3Sn$ ), то разрушение сверхпроводимости магнитным полем пра-

Материал оболочки	$H_0^*$ , $10^3$ э					$H_k$ , $10^3$ э
	$2h/R = 1/50$	$1/100$	$1/200$	$1/500$	$1/1000$	
Nb	—	—	1.18	0.30	0.11	1.94
Pb	—	—	0.40	0.10	0.036	0.80
V	—	—	1.15	0.29	0.010	1.31
$S_n$	—	—	—	0.18	0.062	0.31
$Nb_3S_n$	8.6	3.04	1.08	0.27	0.096	245
$V_3Ca$	9.20	3.20	1.15	0.29	0.010	210

критически невозможно ( $H_k \approx 2 \cdot 10^3$  э) и поэтому остается проблема статической устойчивости.

Институт механики  
АН Армянской ССР  
Ленинаканский филиал  
ЕрПИ

Поступила 20 III 1981

Գ. Ե. ԲԱԳԴԱՍԱՐՅԱՆ, Պ. Ա. ՄԿՐՏՉՅԱՆ

ԳԵՐՀԱՂՈՐԴԻՍ ԳԿԱՆԱՅԻՆ ԹԱՂԱՆԹԻ ԿԱՏՈՒՆՈՒԹՅՈՒՆԸ  
ՄԱԳՆԵՒԱԿԱՆ ԳԱՇՏՈՒՄ

Ա մ փ ո փ ու լ մ

Աշխատանքում արտածված են անհամասեռ մագնիսական դաշտում գտնվող գերհաղորդիչ զլանային թաղանթի զրգռված վիճակի հավասարումները: Այդ հավասարումների հիման վրա ուսումնասիրված է թաղանթի վարքը սկզբնական համասեռ մագնիսական դաշտում, որի լարվածության փեկտորը ուղղահայաց է զլանի առանցքին: Ապացուցված է շրջոված վիճակի կայունության կորստի հնարավորությունը: Ստացված է բանաձև արտաքին մագնիսական դաշտի լարվածության կրիտիկական մեծության որոշման համար:

STABILITY OF A SUPERCONDUCTING CYLINDRICAL SHELL IN MAGNETIC FIELD

G. E. BAGDASARIAN, P. A. MKRTCHIAN

S u m m a r y

The equations of perturbation motion are deduced for a superconducting cylindrical shell in a non-homogeneous stationary magnetic field.

Based on these equations the shell's behaviour is investigated in the primary magnetic field whose magnetic intensity vector is perpendicu-

far to shell's axis. The possibility of shell's non-perturbed state stability loss is determined which is a momentum one due to non-homogeneity of the non-perturbed magnetic field. The formula is obtained for critical value of the external magnetic field intensity.

#### ЛИТЕРАТУРА

1. Киселев М. И. О полях конечной амплитуды в токонесущей сверхпроводящей коаксиальной линии. ЖТФ, 1975, т. 45, вып. 2 (382).
2. Овсянники Р. Н. Об устойчивости цилиндрической токонесущей оболочки бесконечной проводимости. Изв. АН Арм.ССР, Механика, 1969, т. 22, № 4.
3. Овсянники Р. Н. Об устойчивости коаксиальной системы сверхпроводящих оболочек. Изв. АН Арм.ССР, Механика, 1979, т. 32, № 3.
4. Бруксели В. Сверхпроводимость. М., «Мир», 1975.
5. Ландау Л. Д. и Лифшиц Е. М. Электродинамика сплошных сред. М., Гостехиздат, 1957.
6. Новожилов В. В. Основы нелинейной теории упругости. М., Гостехиздат, 1948.
7. Бологин В. В. Неконсервативные задачи теории упругой устойчивости. М., Физматгиз, 1961.
8. Ашбарцумян С. А., Багдасарян Г. Е., Белубекян М. В. Магнитоупругость тонких оболочек и пластин. М., «Наука», 1977.
9. Кошляков Н. С., Глинский Э. Б., Смирнов М. М. Уравнения в частных производных математической физики. М., «Высшая школа», 1970.
10. Канторович Л. В. и Крылов В. И. Приближенные методы высшего анализа. М., Гостехиздат, 1952.

Օ. Ա. ԱՐՄԵՆՅԱՆ, Ս. Տ. ԳՐԻԳՐՅԱՆ, Բ. Յ. ԿԱՄԱԼՅԱՆ

О ВЛИЯНИИ УРОВНЯ ГРУНТОВЫХ ВОД НА ПРОЦЕСС  
ВЫБРОСА ГРУНТА ВЗРЫВОМ

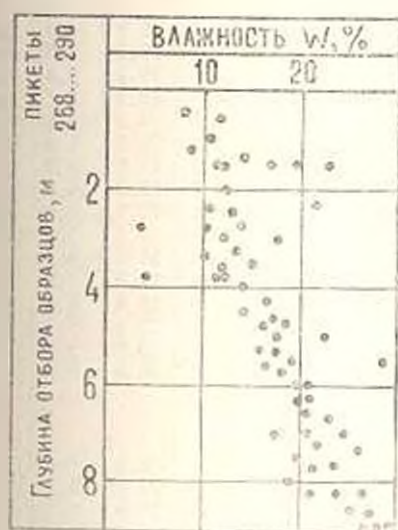
Исследование действия взрыва в грунтах и горных породах является одной из актуальных проблем современной механики. Особый интерес в этой области представляют задачи, связанные с исследованием взрывов на выброс, которые широко используются в водоооаяйственном строительстве. При подготовке крупных промышленных взрывов на выброс возникает необходимость в решении ряда важных вопросов, таких как расчет величины заряда и глубины его заложения, определение количества необходимых зарядов и схемы их расположения, выбор наиболее рационального интервала замедления взрыва одних зарядов по отношению к другим, предсказание окончательных результатов взрыва. Пока что все эти вопросы решаются весьма приближенно. Основой расчетов служит накопленный опыт ведения взрывных работ, воплощенный в различные эмпирические формулы и правила. Особую трудность представляет проведение взрывных работ в сложных гидрогеологических условиях — в грунтах с высокой естественной влажностью или при близком расположении уровня грунтовых вод к заряду ВВ. Как показывает практика, в этих условиях профили выемок, получаемых в результате взрывов на выброс, часто оказываются в резком несоответствии с проектными и не могут быть приняты к эксплуатации. В первом случае выемка оказывается заполненной частично или полностью разжиженной массой [1, 2, 3], во втором случае образуется вспученная зона грунта [4].

Можно констатировать, что в настоящее время объем взрывных работ в указанных условиях значительно меньше, чем в грунтах естественно-воздушной влажности. Причиной является как недостаточная изученность наблюдающихся при указанных условиях эффектов, так и отсутствие наряду этого научно-обоснованных методов инженерных расчетов параметров и технологических схем производства взрывных работ. Эти трудности, при все возрастающем требовании достижения максимальной эффективности использования энергии взрыва, приводят к необходимости в усовершенствовании существующих и разработке новых технологических схем и методов расчета параметров заряда.

Настоящая статья посвящена исследованию эффекта вспучивания грунтов при взрывах на выброс. Данное явление наблюдалось при строительстве ряда крупных каналов и коллекторов в Средней Азии. Ниже приводятся данные о некоторых конкретных объектах при создании которых этот эффект проявился.

## 1. Краткое описание взрывов с эффектом вспучивания

Канал ДМ-1. В литологическом отношении трасса канала ДМ-1 представлена супесчано-суглинистой толщей с прослоями (1—2) и линзами (до 0,5 м) песка и гравийно-галечниковых отложений. Суглинки и супеси значительно засолены и загипсованы, их засоленность составляет величину порядка 11% по отношению к воздушно-сыхому грунту. Распределение влажности по глубине толщи в пределах указанных пикетов показана на фиг. 1, откуда видно, что с увеличением глубины влажность грунтов уве-



Фиг. 1. Распределение влажности по глубине грунтовой толщи на ДМ-1.

то, что расчетный заряд был уложен в грунт на расчетную глубину, вместо ожидаемой выемки заданных параметров, получилась выемка сложной конфигурации с пологими бортами (фиг. 2). Вдоль оси всей выемки образовался «горб» из грунта, оказавшийся при первом осмотре весьма влажным. Через некоторое время в ложе выемки и местами на поверхности «горба» стали появляться маленькие фонтанчики. В навале параллельно оси выемки виднелись глубокие трещины.

Коллектор ЦК-4. Физические свойства грунтов на исследованном участке канала представлены в табл. 1. Участок сложен, в основном, суглинками с незначительными прослойками глины и частыми линзами супесей, мощность которых достигает 5 м. Пластичность грунтов невысокая из-за засоленности. Число пластичности в среднем достигает для супесей — 6, суглинков — 10. Сдвиговые характеристики грунтов приведены в табл. 2. Схема взрывания — однорядный траншейный заряд. Масса заряда — 210 кг/м. Глубина заложения — 4,5 м. Результат взрыва показан на фиг. 3. Образовавшаяся выемка имела корытообразную форму с небольшим «горбом» по оси. Видимая глубина составляла примерно 1/5 про-

длевается, однако на одинаковых глубинах в различных точках трассы она практически одинакова. Физические свойства грунтов приведены в табл. 1. Особой закономерности в характеристиках грунтов не наблюдается. Вследствие высокой засоленности пластичность невысокая. С глубиной засоленность уменьшается. Сдвиговые характеристики грунтов приведены в табл. 2.

Проектом, с учетом геометрических размеров выемки, было принято трехрядное расположение горизонтально-удлиненных (траншейных) зарядов. Расстояние между зарядами 9 м, глубина заложения 4 м, вес боковых зарядов по 360 кг/м, центрального — 530 кг/м. Взрывание короткозамедленное. Несмотря на

Наименование объекта и шпикета	Глубина отбора образца, м	Удельный вес, т/м <sup>3</sup>	Объемный вес, т/м <sup>3</sup>		Естественная влажность, %	Пористость, %	Коэффициент пористости	Верхний предел пластичности, %	Нижний предел пластичности, %	Число пластичности	УГВ, м
			естества, влажность	сухого грунта							
ДМ-1											
290±00	2.0	2.68	1.65	1.47	12.5	45.2	0.825	26.7	19.8	6.9	8.0
"	6.0	2.67	2.01	1.68	19.6	37.1	0.590	24.2	19.2	5.0	8.0
292±00	1.5	2.69	1.64	1.40	17.1	48.0	0.923	27.5	19.1	8.4	8.0
"	3.5	2.69	1.83	1.63	15.2	39.4	0.650	26.4	18.3	8.1	8.0
296±00	5.5	2.74	2.00	1.56	28.5	43.1	0.757	42.5	24.5	18.0	8.2
"	1.5	2.67	1.63	1.45	12.2	45.7	0.842	33.7	22.7	6.0	8.2
"	3.0	2.7	1.86	1.58	17.6	41.5	0.709	27.2	17.5	9.7	8.5
"	6.0	2.70	2.00	1.66	20.3	38.6	0.629	27.9	17.9	10.0	8.5
278±64	8.0	2.68	2.01	1.60	19.0	36.9	0.585	25.1	17.2	7.9	8.5
"	2.8	2.42	1.60	1.33	10.3	42.7	0.745	25.0	19.4	5.9	8.5
"	3.8	2.62	1.64	1.46	11.7	45.1	0.821	25.2	21.7	6.5	8.0
248±50	0.45	2.68	1.48	1.26	8.3	49.0	0.561	25.6	17.8	7.8	8.2
"	1.45	2.69	1.54	1.35	14.3	49.8	0.492	27.0	18.4	8.6	8.2
"	2.45	2.67	1.47	1.33	10.8	50.5	0.408	23.4	23.4	5.7	8.2
"	3.45	2.63	1.66	1.55	10.0	43.2	0.766	26.0	20.2	5.8	8.2
"	5.0	2.69	1.87	1.58	17.9	41.0	0.694	23.8	20.8	8.0	8.2
ДК-1											
10±00	4.5	2.67	1.70	1.51	12.3	43.65	0.770	25.2	18.6	6.6	5.2
"	6.0	2.71	1.93	1.53	20.2	43.5	0.770	33.4	21.7	11.7	5.2
15±10	3.1	2.70	1.99	1.50	25.9	44.4	0.799	30.5	20.8	9.7	5.2
"	4.4	2.72	1.97	1.56	26.4	42.9	0.751	35.5	23.6	14.9	9.2
19±30	1.5	2.71	1.55	1.52	21.7	42.4	0.736	30.3	19.3	11.0	5.0
"	2.6	2.68	1.92	1.52	26.0	43.4	0.755	30.8	23.2	7.6	5.0
19±97	1.5	2.72	1.91	1.53	25.0	43.8	0.775	35.6	22.9	12.7	5.0
"	2.6	2.73	1.90	1.50	26.6	45.1	0.821	31.6	22.0	17.6	5.0
20±40	1.0	2.70	1.88	1.60	17.9	40.7	0.836	30.0	19.1	10.7	5.0
"	1.5	2.69	2.03	1.66	22.5	38.3	0.621	23.5	16.4	9.1	5.0



Фиг. 2. Ситуация, возникшая на участке канала ДМ-1 после взрыва.

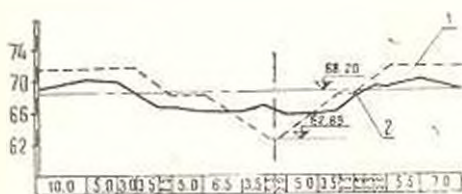
ектной, борта выемки пологие, ширина по верху превышала проектную почти в два раза.

Таблица 2

Сдвиговые характеристики грунта

Наименование объектов	Глубина отбора образцов, м	Угол внутреннего трения, $\varphi^\circ$	Коэффициент внутреннего трения	Сцепление $C$ , кг/см <sup>2</sup>
ДМ-1				
290+00	2.0	23	0.432	0.546
"	6.0	30	0.568	0.685
292+00	1.5	26	0.488	0.625
"	3.5	28	0.530	0.710
"	5.5	22	0.412	1.35
296+00	1.5	28	0.535	0.700
"	3.0	25	0.463	1.056
"	6.0	27.5	0.520	0.750
"	8.0	16	0.284	0.770
278+64	2.8	27	0.512	0.630
"	3.8	28	0.537	0.540
268+50	0.45	39	0.800	0.597
"	1.45	28	0.537	0.615
"	2.45	31	0.600	0.515
"	3.45	28	0.525	0.815
"	5.0	27	0.512	0.695
ЦК-4				
19+97	1.5	28	0.525	0.610
"	2.6	29	0.550	0.554
19+30	1.5	30	0.575	0.542
"	2.6	27	0.500	0.446
15+00	3.1	26	0.487	0.550
"	4.4	27	0.500	0.922
10+00	4.5	27	0.500	0.450
"	6.0	28	0.525	0.508

Коллектор ЦК-4-1. В литологическом отношении трасса коллектора аналогична ЦК-4. Схема взрывания — однорядный траншейный заряд. Масса заряда на ПК 15 ... 16 — 250 кг/м, глубина заложения 4.5 м. В результате взрыва образовалась выемка с явно выраженным «горбом» вдоль оси (фиг. 4). Фактическая ширина по верху не превышала проектную.

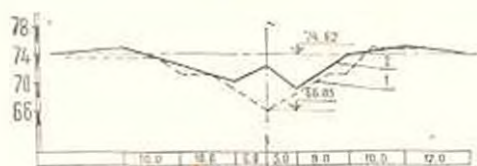


Фиг. 3. Результат маркшейдерской съемки поперечного сечения выемки на участке коллектора ЦК-4 (ПК 14+10): 1—проектный контур, 2—фактический профиль.

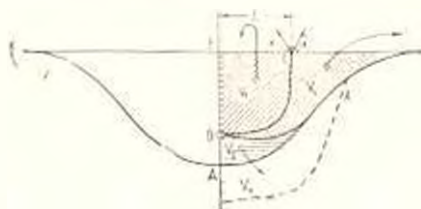
Аналогичные результаты были получены и при взрывах на других объектах.

Отметим, что, несмотря на различие в формах вспучивания, характерным для всех взрывов с аномальным эффектом являлись следующие признаки: влажный грунт в зоне вспучивания, пологие откосы у выемки, наличие трещины в навале, параллельных оси выемки.

2. *Состояние вопроса.* Эффект вспучивания грунта при взрывах на выброс известен сравнительно давно (см., напр., [3, 4, 5, 6]). Однако, несмотря на это, до последнего времени рационального объяснения механизма образования вспученной зоны не существовало. В работе [7] явление испучивания грунта, названное автором аномальным эффектом при взрыве на выброс, объясняется следующим образом. Весь объем грунта, подверженный действию расширяющихся продуктов детонации ВВ при взрыве на выброс, делится на три части:  $V_1$  — объем выброса, то есть объем грунта, выброшенного на поверхность за пределы выемки,  $V_2$  — объем грунта, упавшего обратно в выемку,  $V_3$  — объем грунта, вдавленного в окружающий массив действием взрыва (фиг. 5). При этом автор явление



Фиг. 4. Результат маркшейдерской съемки поперечного сечения выемки на участке коллектора ЦК-4-1 (ПК 12 + 10): 1 — проектный контур, 2 — фактический профиль.



Фиг. 5. Схема образования вспученной зоны по Г. Н. Мартьянову.

аномального эффекта связывает с существованием объема грунта  $V_2$ , упавшего обратно в выемку, величина которого, по мнению автора, существенно растет из-за искривления траекторий движения частиц грунта при взрывах в тяжелых водонасыщенных грунтах. Приняв гипотезу искривления траекторий движения частиц грунта, автор предполагает, что граница между объемами  $V_1$  и  $V_2$  на некотором расстоянии  $L$  от эпицентра взрыва выходит на свободную поверхность вертикально. Тогда частицы, движущиеся правее указанной границы, вылетают под условно положительным углом и падают за пределы контура выемки. Частицы, движущиеся левее данной границы, вылетая с «отрицательным углом», составляют в сумме объем  $V_2$ , который, сталкиваясь с аналогичным и симметрично движущимся объемом в левой части (фиг. 5), падает обратно в выемку. Автор отрицает образование объема  $V_3$  за счет оползания бортов выемки в заключительной стадии развития взрыва, поскольку, как утверждает в работе, замеренная по фотографиям ширина снопа выброса в нижней своей части соответствует истинной ширине получаемой выемки по верху. Отсутствие в сухих грунтах с малым содержанием жидкой фазы аномального эффекта автор объясняет тем, что в таких грунтах скорость ударной волны мала, а

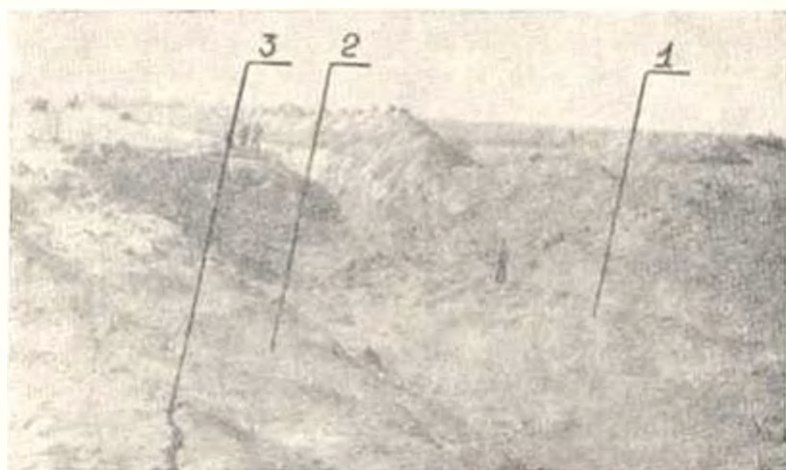
время «отклика» настолько велико [7], что камуфлетная полость успевает развиться, благодаря чему путь, по которому частицы движутся с искривленными траекториями, весьма мал, и само искривление траекторий незначительно ввиду низкой интенсивности ударной волны и малого градиента плотности окружающей среды. При этом, как утверждает автор, граница раздела объемов  $V_1$  и  $V_2$  приближается к эпицентру взрыва.

В 1976 г. С. С. Григорьяном было предложено объяснение явления вспучивания грунта, излагаемое ниже. Как показывает опыт проведения натурных взрывов в полевых условиях, одним из необходимых факторов, вызывающих эффект вспучивания грунта, является наличие близко расположенных к заряду грунтовых вод. После детонации заряда по грунту проходит сильная ударная волна, которая образует в водонасыщенной части массива зону «разжижения» грунта. Ударная волна, идущая по этому массиву, имеет существенно большую скорость, чем ударная волна, идущая по «сухому» грунту, расположенному над этим массивом. Поэтому фронт этой волны в области грунта выше уровня грунтовых вод оказывается очень пологим. Это приводит при ее отражении от свободной поверхности грунта к движению последнего в близком к вертикали направлении и к интенсивному разрыхлению и разрушению сухого грунта в приповерхностной области, причем разрушение тем меньше, чем дальше грунт от эпицентра взрыва из-за затухания взрывной волны при ее удалении от эпицентра. После окончания развития взрыва грунт, располагавшийся в некоторой области выше заряда, оказывается поднятым и выброшенным за пределы выемки. После выброса и оставшейся невыброшенной части грунта возникает неравновесное состояние, обусловленное действием силы тяжести, существованием выемки выброса, дробленным грунтом вне выемки и относительно высокой текучестью разжиженного грунта. При этих условиях под действием силы тяжести возникает движение разжиженного грунта и лежащего на нем дробленного грунта к оси выемки и образование за счет движения по инерции вспученной зоны в центре выемки. Следствием такой схемы движения на этой относительно медленной второй ее стадии является процесс опускания бортов выемки (фиг. 6).

Следует отметить еще и недавно опубликованную работу [8], в которой также отмечается, что возникновение аномального эффекта связано с высоким расположением уровня грунтовых вод. Образование же вспученной зоны грунта авторами объясняется сползанием с бортов выемки объемов  $V_1$  и  $V_2$  с последующим выпором объема  $V$  вдоль оси выемки. Причем, как утверждается в работе, объем выпора  $V$  равен суммарному объему сползающих частей  $V_1 + V_2$ . Однако в более поздней работе [9] авторы причиной появления перемычки (вспученной зоны) считают возвратное движение нагруженного взрывом нижележащего грунта (ила), не способного к дальнейшему уплотнению (выдавливанию).

В работе [10] предлагается следующий механизм аномального явления. Считается, что в связных водонасыщенных грунтах при приложении к ним динамической нагрузки определенной величины могут возникнуть тексотропные процессы, связанные с изменением процентного содержания

свободной воды. Возникновение тиксотропных явлений в указанных грунтах авторы связывают, согласно [11], с переходом части связанной воды в свободное состояние при динамических взрывных нагрузках. В результате этого повышаются внутрипоровое давление и градиент фильтрации, вследствие чего происходит фильтрационная деформация дна взрывной



Фиг. 6. Общий вид выемки, образовавшейся после взрыва на выброс: 1 — испученная зона, 2 — присевший борт, 3 — трещина, образовавшаяся в результате опускания борта выемки.

выемки, которая сопровождается механической суффозией — выносом мелких частиц через поры более крупнозернистого скелета. При этом, по мнению авторов, вынос может либо носить ограниченный характер, либо приводить к полному разрушению канала.

3. *Некоторые результаты исследований.* Обзор литературных источников показывает насколько сложна проблема и соответственно противоречивы объяснения механизма аномального явления. В разрешении данной проблемы дополнительное знание могут доставить результаты проведенных нами экспериментов, целью которых было установление возможности и получение практических рекомендаций для строительства открытых выемок в осложненных условиях. В основу исследований была положена схема образования испученной зоны, предложенная С. С. Григорьевым. Согласно этой схеме минимальное расстояние от центра заряда до уровня грунтовых вод, при котором вспучивание не должно возникать, можно определить из трещинообразования, чтобы при подходе к уровню грунтовых вод интенсивность взрывной волны упала до величины, уже не вызывающей эффектов «разжижения» водонасыщенного грунта и его оползания вместе с вышележащими сухими толщами. Соответствующие критические величины этой интенсивности можно определять эмпирическим путем, проведя серию пристрелочных взрывов. Однако структура теоретической формулы, по которой в принципе можно ее рассчитать, может быть получена

следующим образом. Зависимость интенсивности  $\Delta p$  взрывной волны удаленного заряда в грунте от расстояния  $r$  имеет вид

$$\Delta p \leq \Delta p_0 f\left(\frac{r}{\sqrt{Q}}\right) \quad (3.1)$$

где  $\Delta p_0$  — постоянная величина, определяемая типом ВВ и свойствами грунта,  $Q$  — вес единицы длины заряда ВВ. Вид функции  $f$  также определяется типом грунта и ВВ. Упомянутое выше ограничение на интенсивность волны записывается в виде

$$\Delta p \leq \Delta p_{cr}$$

где  $\Delta p_{cr}$  — критическое значение  $\Delta p$ , не вызывающее указанных выше эффектов. Это условие с учетом (3.1) приводится к виду

$$r \leq r_0 = \sqrt{Q} f^{-1}\left(\frac{\Delta p_{cr}}{\Delta p_0}\right) =: \zeta \sqrt{Q} \quad (3.2)$$

где  $\zeta$  — функция, обратная к  $f$ .

Если нет возможности для проведения пристрелочных вариантов, позволяющих определить множитель  $\zeta$  в (3.2), то для грубых оценок можно принять, что

$$r_0 = \lambda h_0 \sqrt{1 + n^2}$$

где  $n$  — показатель действия взрыва,  $h_0$  — глубина заложения заряда, а коэффициент  $\lambda$  — порядка 0.4—0.7.

Тогда с учетом соотношения

$$Q = 2kh \frac{0.4 + 0.6n^2}{n - 1}$$

связывающего погонный вес  $Q$  ВВ с параметрами  $h$  и  $n$  [11], получаем для коэффициента  $\zeta$  выражение

$$\zeta = \sqrt{\frac{(n - 1)(1 + n^2)}{2k(0.4 + 0.6n^2)}} \quad (3.3)$$

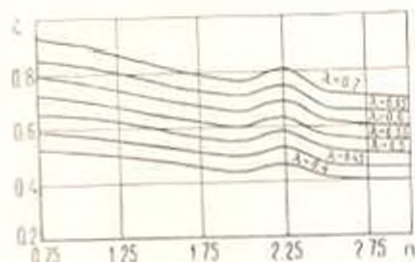
где  $k$  — расчетный удельный расход ВВ ( $\text{кг}/\text{м}^2$ ).

На фиг. 7 приведена диаграмма для определения коэффициента  $\zeta$  при различных  $n$  и  $\lambda$ .

Из описанной схемы явления вспучивания следует, что глубина  $h$  заложения зарядов должна быть связана с глубиной расположения уровня грунтовых вод  $H$  соотношением

$$h_0 < H_0 = \zeta \sqrt{Q} \quad (3.4)$$

Этот вывод согласуется с теми фактами, что, как показал анализ результатов опытно-промышленных взрывов, с приближением глубины



Фиг. 7. Диаграмма для определения коэффициента  $\zeta$  при различных  $n$  и  $\lambda$ .

заложения заряда к уровню грунтовых вод относительная глубина выемки уменьшается. Таким образом, для конкретных грунтовых условий, типа и массы ВВ существует оптимальная глубина заложения заряда, при которой образуется выемка с максимальными параметрами и без вспучивания и аномальных эффектов.

Эта тенденция отмечается и в работах [8, 9, 10]. Изложенное выше иллюстрируется следующим примером. Исходные данные:  $n = 2.25$ ,  $h_0 = 3$  м,  $H_0 = 8$  м,  $k = 1.3$  кг/м<sup>3</sup>. Согласно (3.3) имеем

$$\xi = 1 \sqrt{\frac{3.25 \cdot 6.06}{2.6(0.4 + 0.6 \cdot 11.38)}} \approx 2$$

Отсюда при  $\lambda = 0.5$  получаем для критического расстояния  $r_c$  до уровня грунтовых вод  $r_c = 0.5 \sqrt{Q}$ .

Если взять вес заряда согласно [12] равным 300 кг/м, то при  $H_0 = 8$  м и  $h_0 = 3$  м для  $r_c$  имеем  $r_c = 0.5 \sqrt{300} \approx 8.5$  м, что приводит к нарушению условия (3.4).

При  $Q = 100$  кг/м для  $r_c$  имеем  $r_c = 0.5 \sqrt{100} = 5$  м, и условие (3.4) выполняется, ибо  $H_0 - h_0 = 8 - 3 = 5$  м.

Результат фактически проведенного для этого расчетного случая взрыва показан на фиг. 8.



Фиг. 8.

Известно [13], что начальное давление продуктов детонации в первом приближении может быть определено с помощью выражения

$$P_0 = \frac{\gamma D^2}{2(1 + \gamma)} \quad (3.5)$$

где  $\rho$  — плотность ВВ,  $D$  — скорость детонации ВВ,  $\gamma$  — показатель политропы. Известно также, что в пластически деформируемых средах ответственным за разрушение среды (соответственно за образование зоны разжижения и водонасыщенных грунтов) является импульс взрыва, определяемый интегралом по времени от давления

$$I = \int p(r, t) dt \quad (3.6)$$

Из (3.5) следует, что с уменьшением плотности и скорости детонации ВВ уменьшается начальное пиковое давление, что приводит к соответствующему изменению формы и величины взрывного импульса. Таким образом, согласно (3.5) и (3.6), для увеличения глубины заложения зарядов, не приводящих к нарушению условия (3.4), необходимо применять ВВ с более низкими плотностью и скоростью детонации.

Для сравнения в табл. 3 приведены результаты взрывов в идентичных условиях с использованием штатного ВВ граммонита 79/21 и игданита.

Таблица 3

Тип ВВ	Глубина заложения $h_0$ , м	Характеристики ВВ		Масса ВВ $Q$ , кг/м	Поперечное сечение выемки $S$ , м <sup>2</sup>	Глубина выемки $H$ , м	Факт. удел. расход ВВ, $q$ , кг/м <sup>3</sup>
		$\rho$ , кг/м <sup>3</sup>	$D$ , м/с				
Граммонит 79,21	3	900—1000	3500—4200	100	30.5	4.2	3.2
Игданит	3.2	850	2200—2700	210	46.75	4.64	4.5

Как видно из таблицы, использование в качестве ВВ игданита, характеризующегося более низкими детонационными параметрами [14], позволяет увеличить массу заряда и глубину его заложения, что, соответственно, способствует увеличению геометрических размеров выемки без образования вспученной зоны.

**Выводы.** Результаты опытно-промышленных взрывов, проведенные трестом «Средазспецстрой» в 1976—1980 гг. с учетом описанной выше схемы явления вспучивания, показали возможность эффективного применения взрывов на выброс при строительстве гидромелиоративных сооружений в осложненных условиях.

Поскольку в настоящее время область применения взрывного метода выполнения земляных работ в осложненных условиях становится все шире, то представляет значительный интерес дальнейшее изучение влияния свойств грунта, параметров и конструкций заряда на указанное явление с целью оптимизации технологии производства взрывных работ.

ՊԼԱՅԹԵՑՈՒՄՈՎ ԲՆԱՀՈՎՆԵՐԻ ԳՈՒՐՍ ՆԵՏՄԱՆ ԸՆԹԱՅՔԻ  
ՎՐԱ ԳԵՏՆԱԶՐԵՐԻ ՄԱԿԱՐԳԱԿԻ ԱԶԳԵՑՈՒԹՅԱՆ ՄԱՍԻՆ

Ա մ փ ո փ ու մ

Քերված են պայմեցումներով բնահողերի դուրս նետման ուղղությամբ բարդ պայմաններում կատարված, Երբ տեղաբաշխված լիցքերի մոտ գետնաչրերի մակարդակը բարձր է, հետազոտությունների արդյունքները:

Յուրջ է տրված գետնաչրերի մակարդակի ազդեցությունը պայմեցումներով առաջացրած հանվածքների պարամետրերի վրա:

THE INFLUENCE OF UNDERGROUND WATER LEVEL  
ON THE PROCESS OF GROUND EJECTION BY EXPLOSION

O. A. ARUTUNOV, S. S. GRIGORIAN, R. Z. KAMALIAN

S u m m a r y

Pilot-industrial results to explosions influence on ground ejection in complicated conditions — in the ground with high ground water level disposition to charge — are presented. The influence of ground water level on parameters of explosive excavation is shown.

ЛИТЕРАТУРА

1. Аведис Ф. А. Взрывы на выброс в омываемых моренных грунтах при строительстве Аларчеченского водоотводящего канала. В кн.: Труды V сессии ученого совета по народнохозяйственному использованию взрыва. Фрунзе, Издм, 1965, с. 259—272.
2. Кушнарев Л. М. Использование энергии взрыва в строительстве. М., Стройиздат, 1977, с. 118.
3. Вояк А. А., Смирнов А. Г., Кравец В. Г. Динамика подонасыщенных грунтов. Киев, Наукова думка, 1975, с. 204.
4. Шумский Б. Б., Миндела Э. О. Рациональные пути использования энергии взрыва в мелиоративном строительстве. Гидротехника и мелиорация, 1975, № 11, с. 13—16.
5. Золотарев Н. Я. Взрывные работы на ирригационном и мелиоративном строительстве в Узбекистане. В кн.: Взрывное дело, 1947, вып. 47, с. 40—47.
6. Данчен П. С. О влиянии водонасыщенности грунтов и горных пород на эффект действия взрыва. В кн.: Взрывное дело, 1960, 45/2, с. 54—62.
7. Мартынов Н. Г. Об аномальном эффекте взрыва на выброс в подонасыщенных грунтах. Изв. вузов. Геология и разведка, 1977, № 2, с. 127—135.
8. Лучко И. А., Бигдаш Д. В. Влияние уровня грунтовых вод на результаты взрывов на выброс. В кн.: Использование взрыва при разработке нескальных грунтов. Киев, Наукова думка, 1978, с. 120—123.
9. Вояк А. А., Лучко И. А., Бигдаш Д. В. Особенности взрыва на выброс в условиях приазовских плавней. В кн.: Взрывное дело, 1979, 81/38, с. 208—213.
10. Андреев Ю. П., Цурик В. А., Тесленко В. В. Опыт строительства гидромелиоративных объектов в Калмыцкой АССР с применением энергии взрыва. В кн.: Взрывное дело, 1979, 81/38, с. 223—226.

11. Герсванов Н. М., Польшин Д. Е. Теоретические основы механики грунтов. М., Госстройиздат, 1948, с. 295.
12. Проектирование взрывных работ. Под редакцией Б. Н. Кутузова. М., «Недра», 1974.
13. Физика взрыва. Под редакцией К. П. Станюковича. М., «Наука», с. 93.
14. Дубнов Л. В., Бахаревич Н. С., Романов А. И. Промышленные взрывчатые вещества. М., «Недра», 1973, с. 319.

В. А. КАРААШ

К ТЕОРИИ НЕСИММЕТРИЧНЫХ КОЛЕБАНИЙ ТОНКИХ  
ПЬЕЗОКЕРАМИЧЕСКИХ КРУГЛЫХ ПЛАСТИН  
С РАЗДЕЛЕННЫМИ ЭЛЕКТРОДАМИ

Тонкие элементы из пьезокерамики в виде круглых пластин и колец находят широкое применение в электромеханических преобразователях энергии — излучателях и приемниках ультразвука, фильтрах частот, резонаторах, пьезотрансформаторах и т. п. Работа этих элементов характеризуется рядом особенностей, главной из которых является сильная взаимосвязанность электрических (напряженность, индукция) и механических (напряжения, деформации, перемещения) полей. В лучших современных составах пьезокерамики превращаться из механической формы в электрическую и наоборот может до 20—50% энергии. На практике взаимосвязанность полей проявляется в зависимости характеристических частот и интенсивности возбуждения колебаний на этих частотах от способа электрического нагружения, то есть от величины, формы и схемы соединения электродов.

Хорошее согласие расчетных и экспериментальных данных обеспечивает прикладная теория электроупругости, наиболее полно изложенная в работах А. Ф. Улитко и его учеников.

В тонких круглых пьезокерамических пластинках чаще всего возбуждаются электрическим полем и применяются в различных устройствах радиальные колебания, тогда как несимметричные могут проявляться как паразитные, возникающие из-за внутренних или геометрических неоднородностей. Несимметричные колебания тонких упругих или пьезоэлектрических круглых пластин изучались в работах [1—4], а пьезокерамических тонких колец — в работе [5]. В отличие от радиальных несимметричные колебания характеризуются наличием наряду с деформацией растяжения—сжатия по радиусу также деформации сдвига в плоскости пластины.

В настоящем исследовании в рамках прикладной теории электроупругости выводятся уравнения для определения резонансных частот несимметричных колебаний, а также изучается распределение внутренних динамических напряжений в круглых пьезокерамических пластинках с центральным круговым отверстием произвольного радиуса.

1. Рассмотрим тонкое пьезокерамическое кольцо с наружным радиусом  $R$  и внутренним  $a$ , покрытое на нижнем и верхнем основаниях сплошными электродами, толщиной которых можно пренебречь. После поляризации до насыщения разделим электродное покрытие с двух сторон на  $2l$  кольцевых секторов, равномерно расположенных по азимуту. Соединим соседние

электроды таким образом, чтобы направление нагружающего электрического поля в них было противоположным. Напряженность электрического поля  $E_z$  в любом из секторов

$$E_z^{(l)} = \frac{4E_0 l}{\pi} \sum_{l=0}^{\infty} \frac{\sin l(2l+1)\vartheta}{l(2l+1)} \quad (1.1)$$

где  $E_0 = \frac{V_0}{h}$ ,  $V_0$  — разность потенциалов,  $h$  — толщина,  $\vartheta$  — угловая координата, причем  $h \ll R - a$  и  $h \ll \pi a l$ .

Запишем векторное уравнение движения [5]

$$[r^2 \nabla^2 + (k_1 r)^2] \operatorname{div} \vec{U} = d_{31} (1 + \nu) r^2 \nabla^2 E_z \quad (1.2)$$

$$[r^2 \nabla^2 + (k_2 r)^2] \operatorname{rot}_z \vec{U} = 0 \quad (1.3)$$

где

$$k_1^2 = \omega^2 \rho s_{11}^E (1 - \nu^2), \quad k_2^2 = 2 \omega^2 \rho s_{11}^E (1 + \nu) \quad (1.4)$$

$$\operatorname{div} \vec{U} = \frac{\partial U_r}{\partial r} + \frac{U_r}{r} + \frac{1}{r} \frac{\partial U_\vartheta}{\partial \vartheta} = e_r + e_\vartheta \quad (1.5)$$

$$\operatorname{rot}_z \vec{U} = \frac{\partial U_\vartheta}{\partial r} - \frac{U_\vartheta}{r} - \frac{1}{r} \frac{\partial U_r}{\partial \vartheta} = 2 \frac{\partial U_\vartheta}{\partial r} - e_{r\vartheta} \quad (1.6)$$

Остальные обозначения позаимствованы из работы [5]. Поскольку пластина выбрана достаточно тонкая, так что в пределах каждого сектора напряженность электрического поля можно считать однородной по толщине, то

$$\nabla^2 E_z = \frac{1}{r^2} \frac{\partial^2 E_z}{\partial \vartheta^2} = - \frac{4 l E_0}{\pi r^2} \sum_{l=0}^{\infty} l(2l+1) \sin l(2l+1)\vartheta \quad (1.7)$$

Подставляя это соотношение в (1.2) и представляя частное решение полученного уравнения в виде

$$\operatorname{div} \vec{U} = \sum_{l=0}^{\infty} f_l(r) \sin l(2l+1)\vartheta \quad (1.8)$$

приходим к неоднородному уравнению Бесселя

$$r^2 \frac{d^2 f_l}{dr^2} + r \frac{df_l}{dr} - [k_l^2 r^2 - l^2 (2l+1)^2] f_l = - \frac{4 l^2 E_0 d_{31} (1 + \nu)}{\pi} (2l+1) \quad (1.9)$$

общее решение которого

$$f_l = 2 a_{l(2l-1)}^+ J_{l(2l+1)}(k_1 r) + 2 a_{l(2l+1)}^- Y_{l(2l+1)}(k_1 r) - G_l l(2l+1) s_{-1, l(2l+1)}(k_1 r), \quad \left( G_l = \frac{4 E_0 l d_{31} (1 + \nu)}{\pi} \right) \quad (1.10)$$

В работах [4, 5] приведено общее решение уравнения (1.3). Обозначая  $n = l(2l+1)$ , имеем

$$\operatorname{div} \vec{U} = \sum_{n=1}^{\infty} [2a_n J_n(k_1 r) + 2a_n' Y_n(k_1 r) - G_l n s_{-1,n}(k_1 r)] \sin n\vartheta \quad (1.11)$$

$$\operatorname{rot}_r \vec{U} = \sum_{n=1}^{\infty} [2b_n J_n(k_2 r) + 2b_n' Y_n(k_2 r)] \cos n\vartheta \quad (1.12)$$

Произвольные постоянные  $a_n$ ,  $a_n'$ ,  $b_n$ ,  $b_n'$  определяются из условия отсутствия радиальных и сдвиговых напряжений на внутреннем и внешнем контурах кольца

$$\tau_{r\vartheta}|_{r=a} = \tau_{r\vartheta}|_{r=R} = \tau_{r\vartheta}|_{r=a} = \tau_{r\vartheta}|_{r=R} = 0 \quad (1.13)$$

Частотное уравнение для определения безразмерных резонансных частот  $\gamma_{m,n} = (k_1 R)_{m,n}$  несимметричных колебаний  $((m, n))$  с любыми радиальным  $m$  и угловым  $n$  индексами получено в работе [5], в виде определителя четвертого порядка

$$\begin{vmatrix} a_{11} & -a_{12} & a_{13} & -a_{14} \\ a_{21} & -a_{22} & a_{23} & -a_{24} \\ -a_{31} & a_{32} & -a_{33} & a_{34} \\ -a_{41} & a_{42} & -a_{43} & a_{44} \end{vmatrix} = 0 \quad (1.14)$$

причем коэффициенты являются комбинациями функций Бесселя.

Корни уравнения (1.14) находились численным способом для некоторых отношений  $\gamma = \frac{a}{R}$  при  $\nu = 0.34$ . Полученные значения  $\gamma_{m,n}$  в интервале  $0 \leq \gamma \leq 0.9$  для случая  $l = 3$  приведены в табл. 1. Нетрудно видеть, что с ростом диаметра отверстия частоты всех мод, кроме первых двух, имеют тенденцию к повышению, хотя и проходят через слабо выраженный минимум.

Экспериментальные измерения резонансных частот на пластине из пьезокерамики ЦТС-19 с наружным диаметром 50 мм при увеличении  $\gamma$  от 0 до 0.65 подтвердили предсказания таблицы.

Таблица 1

$\gamma$	Мода $((m, n))$							
	1.3	2.3	3.3	4.3	5.3	6.3	7.3	8.3
0	2.0562	3.3687	5.2084	6.3013	7.3646	9.0874	9.7453	11.0110
0.1	2.0718	3.5317	5.3698	6.2829	7.3363	9.0923	9.6737	10.9231
0.2	2.0562	3.4991	5.2050	6.2899	7.2434	9.2309	9.6559	11.2434
0.3	2.0014	3.4531	5.2443	6.2650	7.6662	9.0432	10.3182	
0.4	1.9017	3.4787	5.6912	6.0412	8.0412	9.3662	11.6162	
0.5	1.7795	3.5748	5.7998	6.5248	8.6373	10.9123		
0.6	1.6373	3.5594	5.8824	7.9574	9.9824			
0.7	1.5461	3.5594	6.8344	10.5094				
0.8	1.4492	3.4000	9.4500					
0.9	1.3687	3.2187						

2. На основе полученного общего решения (1.11) и (1.12) можно построить выражение для суммы главных механических напряжений ( $\sigma_r + \sigma_\theta$ ) в пластине. Исходя из уравнений состояния [6]

$$\begin{cases} \varepsilon_r = s_{11}^E \sigma_r + s_{12}^E \sigma_\theta + d_{31} E_z \\ \varepsilon_\theta = s_{12}^E \sigma_r + s_{11}^E \sigma_\theta + d_{31} E_z \end{cases} \quad (2.1)$$

имеем

$$\varepsilon_r + \varepsilon_\theta = \operatorname{div} \bar{U} = s_{11}^E (1 - \nu) (\sigma_r + \sigma_\theta) + 2 d_{31} E_z \quad (2.2)$$

откуда

$$\sigma_r + \sigma_\theta = \frac{1}{s_{11}^E (1 - \nu)} \operatorname{div} \bar{U} - \frac{2 d_{31} E_z}{s_{11}^E (1 - \nu)} \quad (2.3)$$

Подставляя (1.1) и (1.11) в (2.3), получаем

$$\begin{aligned} \sigma_r + \sigma_\theta = \frac{1}{s_{11}^E (1 - \nu)} \sum_{n=1}^{\infty} & \left[ 2 \alpha_n' J_n(k_1 r) + \right. \\ & \left. + 2 \alpha_n' Y_n(k_1 r) - G_n \left( \frac{2}{s_{11}^E (1 - \nu)} + n s_{-1, n}(k_1 r) \right) \right] \sin n\theta \end{aligned} \quad (2.4)$$

Анализ соотношения (2.4) показывает, что внутренние динамические напряжения в тонкой круглой пьезокерамической пластине с центральным круговым отверстием сложным образом зависят от полного набора мод колебаний. Наряду с выбранным семейством несимметричных мод всегда могут возбуждаться и более высокие в силу правила отбора

$$n = l(2l + 1) \quad l = 0, 1, 2, \dots \quad (2.5)$$

Действие этого правила иллюстрирует табл. 2, в которой приведены соответствующие данному числу разрезов  $l$  числа  $n$ .

Таблица 2

$l$	$n$					
1	1	3	5	7	9	11
2	2	6	10	14	18	22
3	3	9	15	21	27	
4	4	12	20	28		
5	5	15	25			

Из табл. 2 следует, что с ростом числа разрезов электродного покрытия спектр несимметричных мод, которые могут возбуждаться наряду с основным семейством, делается менее плотным. Необходимо отметить, что правило отбора (2.5) действует для любых несимметричных мод, которые возбуждаются противофазными электрическими полями в круглых пластинах, кольцах или оболочках вращения.

Вблизи резонансных частот  $\omega_{-1,2}$  постоянные  $a_1^+$  и  $a_2^+$  резко возрастают (стремится к нулю частотный определитель (1.14)) и вклад первых двух слагаемых в квадратные скобки соотношения (2.4) становится определяющим. Таким образом, распределение динамических напряжений в тонких пьезокерамических кольцах вблизи резонансных частот подчиняется функциям Бесселя первого и второго рода по радиусу и синусоидальному закону по азимуту. Вклад функций Ломмеля  $s_{-1,2}$  следует учитывать лишь вдали от резонансных частот.

Экспериментальные исследования по изучению распределения внутренних динамических напряжений как в сплошных круглых пластинах, так и при наличии центрального отверстия проводились методом пьезотрансформаторного датчика [7]. Сперва измерялись резонансные и антирезонансные частоты тонких круглых пластин со сплошными электродами. По этим данным определялись величины  $\rho_0^+$  и  $\nu$ . Затем электродное покрытие разделялось  $l$  диаметрными разрезами с обеих сторон. Вдоль бисектрисы одного из секторов и по дуге полуокружности наносились пьезотрансформаторные датчики и изучалось распределение динамических напряжений в пластине. Наконец, сверлилось центральное отверстие, диаметр его постепенно увеличивался, и исследовалось распределение напряжений в кольце. По характеру азимутального распределения измеренных потенциалов датчиков — последние пропорциональны сумме главных механических напряжений — проводилась идентификация несимметричных мод, то есть устанавливалась их принадлежность тому или иному семейству  $((m, n))$ . По мере увеличения диаметра отверстия интенсивность одного мод уменьшалась, других увеличивалась. Установлено, что все несимметричные моды проходят через максимумы и минимумы интенсивности.

Исследование распределения динамических напряжений в пластинах с круговым отверстием на несимметричных модах колебаний, равно как и зависимость их интенсивности от диаметра отверстия, проведено в данной работе впервые.

Институт механики  
АН УССР

Поступила 24 VII 1980

Վ. Լ. ԿԱՐԱՇ

ՐԱԺԱՆՎԱՆ ԷԼԵԿՏՐՈՒԿԱՆԵՐՈՎ ԲԱՐԱԿ ՊՅԵՉՏՐԱՆՍՖՈՐՄԱՏՈՐԱԿԱՆ  
ԿԼՈՒ ԹԻՔԵՂԵՆՐԻ ՈՋ ՍԻՄԵՏՐԻԿ ՏԱՏԱՆՈՒՄՆԵՐԻ  
ՏԵՍՈՒԹՅԱՆ ԳԵՐԱՐԵՐՅԱԿ

Ս. Վ Վ Ր Ո Փ Ո Ւ Մ

Կիրառական էլեկտրատեխնիկայի և սեռաբան շրջանակներում լուծվում է կենտրոնական կլոս անցքով բարակ կլոս պլեդոկերամիկական թիթեղների ոչ սիմետրիկ տատանումների խնդիրը, կրր նրանց բառ հաստոթյան պոլյարիզացված են մինև հաղեցումը:

Հաշվված ռեզոնանսային հաճախականությունները և տատանումների ձևերը համեմատվում են փորձնական տվյալների հետ, որոնք ստացվել են ԶՏՍ—19 սյեղովերամիկայից պատրաստված նմուշների վրա:

## ON THE THEORY OF ASYMMETRIC VIBRATIONS OF THIN PIEZOCERAMIC CIRCULAR PLATES WITH SEPARATE ELECTRODES

V. L. KARLASH

### S u m m a r y

The problem is solved of asymmetric vibrations of polarized along the thickness thin circular piezoceramic plates with a central circular hole. For excitation of asymmetric vibrations the electrode covering of the plate on both sides was divided into arbitrary even number of sectors of equal size with a subsequent switching on of these sectors in the phase opposite to the source of the alternating electric field.

The frequency equation and the equation for distribution of internal dynamic stresses in the plate are introduced. Calculated resonance frequencies and vibration forms are compared with experimental data, obtained on specimens of piezoceramic CTS—19.

### ЛИТЕРАТУРА

1. Лив А. Математическая теория упругости. М.—Л., ОНТИ НКТП, 1935, с. 675.
2. Once M. Contour vibrations of isotropic circular plates. J. acoust. Soc. Am., 1956, 28, p. 1158—1162.
3. Holland R. Numerical studies of elastic-disk contour Modes lacking usual symmetry J. acoust. Soc. Am., 1965, 40, p. 1051—1057.
4. Вовкодав Н. Ф., Карлаш В. А., Улитко А. Ф. Анализ несимметричных колебаний тонких пьезокерамических дисков с разрезными электродами. Прикл. механика, 1979, 15, № 2, с. 78—82.
5. Карлаш В. А. Исследование несимметричных колебаний поляризованных по толщине пьезокерамических колец. Прикл. механика, 1978, 14, № 12, с. 88—94.
6. Улитко А. Ф. К теории колебаний пьезокерамических тел. Тепловые напряжения в элементах конструкции, 1975, вып. 15, с. 90—99.
7. Карлаш В. А., Улитко А. Ф. Метод исследования механических напряжений в колеблющихся пьезокерамических телах. Электричество, 1976, № 11, с. 82—83.